

Diplomová práce



České  
vysoké  
učení technické  
v Praze

**F3**

Fakulta elektrotechnická  
Katedra mikroelektroniky

## System pro automatizaci s rozpoznáváním gest

**Bc. Petr Vilím**

Vedoucí práce: prof. Ing. Miroslav Husák, CSc.

Obor: Elektronika

Specializace: Elektronika a komunikace

Srpen 2020



## I. OSOBNÍ A STUDIJNÍ ÚDAJE

Příjmení: **Vilím** Jméno: **Petr** Osobní číslo: **393020**  
Fakulta/ústav: **Fakulta elektrotechnická**  
Zadávající katedra/ústav: **Katedra mikroelektroniky**  
Studijní program: **Elektronika a komunikace**  
Specializace: **Elektronika**

## II. ÚDAJE K DIPLOMOVÉ PRÁCI

Název diplomové práce:

**Systém pro automatizaci s rozpoznáváním gest**

Název diplomové práce anglicky:

**System for Automation with Gesture Recognition**

Pokyny pro vypracování:

1. Proveďte analýzu současného stavu využití integrovaných senzorů pro rozpoznávání gest, bezdrátových komunikačních rozhraní, mikrokontrolerů a embedded Linux platform. Zvažte, které z těchto komponent bude pro danou aplikaci vhodné použít z hlediska provozních parametrů.
2. Navrhněte systém pro automatizaci s rozpoznáváním gest, který se bude skládat ze tří hlavních komponent – ovládací rozhraní schopné rozpoznávat základní gesta, řídicí část zpracovávající data a akční člen pro ovládání např. osvětlení. Vzájemná komunikace všech komponent bude zajištěna vhodným bezdrátovým rozhraním. Realizujte jednoduchý model navrženého systému.
3. Zjistěte základní parametry realizovaného systému, navrhněte možné úpravy pro vylepšení parametrů. Zhodnotte finanční stránku realizace daného systému.

Seznam doporučené literatury:

- [1] HOROWITZ et al. The Art of Electronics. Harvard University, 2015. ISBN 978-0-521-80926-9
- [2] VOBECKÝ, V. a ZÁHLAVA, V. Elektronika - Součástky a obvody, principy a příklady. Grada 2005. ISBN 978-80-247-1241-3
- [3] ZÁHLAVA, V. Návrh a konstrukce desek plošných spojů. BEN 2011. ISBN 978-80-7300-266-4.

Jméno a pracoviště vedoucí(ho) diplomové práce:

**prof. Ing. Miroslav Husák, CSc., katedra mikroelektroniky FEL**


Jméno a pracoviště druhé(ho) vedoucí(ho) nebo konzultanta(ky) diplomové práce:

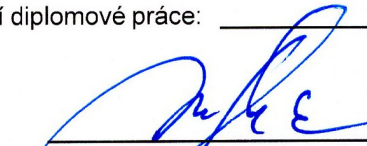
Datum zadání diplomové práce: **17.02.2020**

Termín odevzdání diplomové práce: \_\_\_\_\_

Platnost zadání diplomové práce: **19.02.2022**

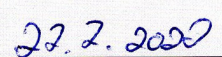
  
prof. Ing. Miroslav Husák, CSc.  
podpis vedoucí(ho) práce

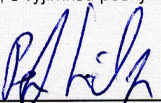
  
prof. Ing. Pavel Hazdra, CSc.  
podpis vedoucí(ho) ústavu/katedry

  
prof. Mgr. Petr Páta, Ph.D.  
podpis děkana(ky)

## III. PŘEVZETÍ ZADÁNÍ

Diplomant bere na vědomí, že je povinen vypracovat diplomovou práci samostatně, bez cizí pomoci, s výjimkou poskytnutých konzultací. Seznam použité literatury, jiných pramenů a jmen konzultantů je třeba uvést v diplomové práci.

  
Datum převzetí zadání

  
Podpis studenta





## Poděkování

Děkuji svému vedoucímu za trpělivost a všem kteří mě podporovali.

## Prohlášení

Prohlašuji, že jsem předloženou práci vypracoval samostatně, a že jsem uvedl veškerou použitou literaturu.

V Praze, 11. srpna 2020

.....

## Abstrakt

Cílem této práce je analýza současného stavu využití integrovaných senzorů pro rozpoznávání gest, jejich provozních parametrů a funkcí, dále pak analýza současného stavu využití bezdrátových komunikačních rozhraní, jejich provozních parametrů a funkcí, a analýza současného stavu využití mikrokontrolerů a embedded Linux platformem. Dále je cílem této práce návrh systému pro automatizaci s rozpoznáváním gest, který se bude skládat ze tří hlavních komponent – ovládací rozhraní schopné rozpoznávat základní gesta, řídicí centrála zpracovávající data a aktivní člen, kterým může být například ovládání osvětlení. Všechny zmíněné komponenty mezi sebou budou komunikovat pomocí vhodného bezdrátového rozhraní. Závěrečným cílem této práce fyzická modelová realizace tohoto systému a zhodnocení jeho parametrů po funkční a finanční stránce.

**Klíčová slova:** Sensory pro rozpoznávání gest, automatizace, vestavěné systémy

**Vedoucí práce:** prof. Ing. Miroslav Husák, CSc.  
ČVUT FEL,  
Technická 2,  
166 27 Praha 6 - Dejvice

## Abstract

First goal of this thesis is a research of available sensors for gesture recognition with their operational parameters and functions, a research of wireless communication interfaces with their operational parameters and functions and a research of microcontrollers and embedded Linux platforms. Second goal is a design of system for automation with gesture recognition consisting of: control interface with gesture recognition capability, main control unit and active device controlling for example room lights. All previously mentioned component will communicate using appropriate wireless communication protocol. Final goal of this thesis is a physical realization of a model system and analysis of its properties and design costs.

**Keywords:** Sensors for gesture recognition, automatization, embedded systems

# Obsah

<b>1 Úvod</b>	<b>1</b>	<b>Literatura</b>	<b>35</b>
1.1 Aktuální trendy	1	<b>Seznam zkratk a symbolů</b>	<b>39</b>
1.2 Předcházející práce	1	<b>Přílohy</b>	<b>41</b>
<b>2 Analýza dostupných komponent</b>	<b>3</b>	Příloha A1 - funkční schéma Sense	41
2.1 Mikrokontroléry	3	Příloha A2 - funkční schéma Control	47
2.1.1 8-bitové architektury	3	Příloha B1 - rozložení DPS Sense	52
2.1.2 16-bitové architektury	4	Příloha B1 - rozložení DPS Control	54
2.1.3 32-bitové	4	Příloha C - zdrojové kódy	56
2.1.4 Programovací jazyky	5		
2.2 Bezdrátová komunikace	5		
2.2.1 Systémy na čipu	6		
2.2.2 Komunikační moduly	6		
2.3 Embedded Linux platformy	8		
2.4 Senzory pro rozpoznávání gest	9		
<b>3 Výsledná podoba systému</b>	<b>11</b>		
3.1 Testování APDS9960	12		
3.2 Testování ESP32	13		
<b>4 Hardware</b>	<b>15</b>		
4.1 Bloková schémata	15		
4.1.1 Sense	15		
4.1.2 Control	16		
4.2 Funkční schémata	16		
4.2.1 Sense	17		
4.2.2 Control	17		
4.3 Návrh DPS	18		
4.4 Osazení a zprovoznění	18		
<b>5 Software</b>	<b>21</b>		
5.1 Celková struktura systému	22		
5.2 Komunikační rámec	23		
5.3 Control	23		
5.4 Server	25		
5.5 Sense	26		
5.5.1 Rozpoznávání gest	26		
<b>6 Testování parametrů systému</b>	<b>29</b>		
6.1 Odezva systému	29		
6.2 Ovládání	30		
<b>7 Finanční stránka realizace</b>	<b>31</b>		
<b>8 Závěr</b>	<b>33</b>		
8.1 Zhodnocení výsledků	33		
8.2 Potenciální vylepšení	33		

## Obrázky

1.1 Schéma navrhovaného systému . . .	2
2.1 Bezdrátové komunikační moduly .	8
2.2 Jednodeskové počítače . . . . .	9
3.1 Testovací přípravek APDS-9960	12
3.2 Testovací přípravek ESP32 . . . . .	13
4.1 Blokové schéma SENSE . . . . .	16
4.2 Blokové schéma CONTROL . . . . .	16
4.3 Osazené DPS . . . . .	19
5.1 Blokový diagram celého systému	22
5.2 Komunikační rámec . . . . .	23
5.3 Blokový diagram CONTROL . . .	24
5.4 Blokový diagram SERVER . . . . .	25
5.5 Blokový diagram SENSE . . . . .	27

## Tabulky

3.1 Navrhované varianty . . . . .	11
6.1 Měření ping a ACK . . . . .	29
6.2 Měření chybovosti . . . . .	30
7.1 Cenová kalkulace . . . . .	31

# Kapitola 1

## Úvod

### 1.1 Aktuální trendy

V současné době je nadále velkým tématem internet věcí a lze předpokládat i rozsáhlý budoucí rozvoj. Aktuálně mimo jiné dochází k prvním implementacím 5G sítí i v České Republice a již se běžně můžeme setkat s rozsáhlými systémy na bázi NB-IoT a WB-IoT, tedy úzkopásmových a širokopásmových zařízení internetu věcí. Rozšiřuje se též pokrytí datovými sítěmi obecně, včetně lokalit s dlouhodobě špatným pokrytím od vzdálených venkovských oblastí až po tunely pražského metra. Vše probíhá s cílem zajistit dostupnost internetu ve všech oblastech a umožnit tak další vývoj potenciálních aplikací.

Mezi tyto aplikace patří zejména pro tuto práci relevantní senzorové sítě, domovní automatizace nebo inteligentní zařízení. V souvislosti s těmito aplikacemi narůstá zájem též o ovládací rozhraní která nevyžadují fyzickou interakci uživatele - typicky se jedná o různé systémy na rozpoznávání hlasu nebo systémy rozpoznávání gest, což je součástí této práce. Současně s tím narůstají nároky na zázemí těchto aplikací, tedy servery ve smyslu jak softwaru tak hardwaru.

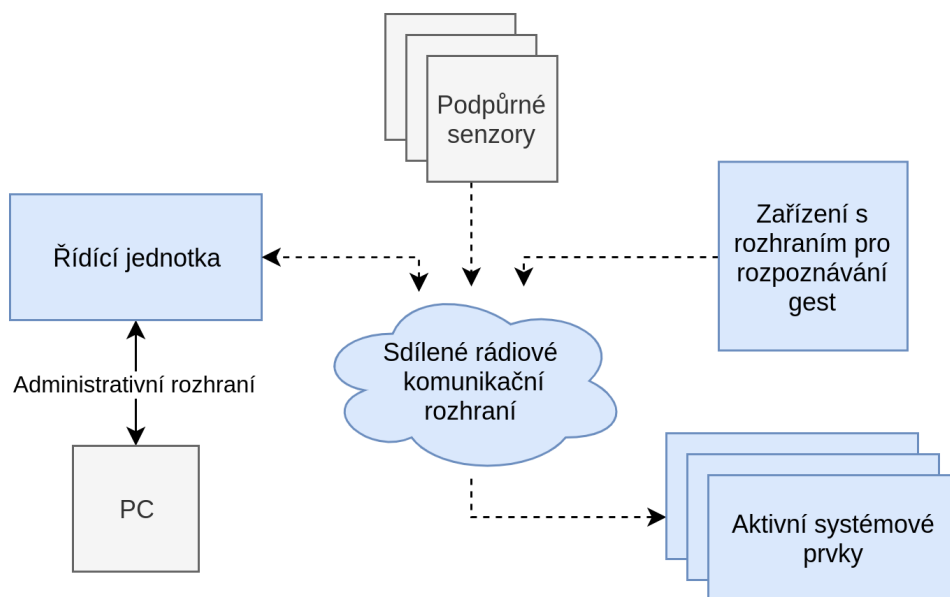
Jako vždy nový vývoj přináší nové možnosti ale i nové výzvy a nároky. Za zmínku stojí, že v důsledku těchto požadavků došlo k vývoji v mnoha jiných souvisejících odvětvích elektroniky. Například se značně rozšiřují modularizovaná řešení pro bezdrátovou komunikaci, vznikají nové platformy pro embedded systémy a na popularitě získávají relativně nové programovací jazyky, čemuž se též budu věnovat v této práci.

Vzhledem k tomu, že tato práce ideově navazuje na moji předcházející práci, tak bych ji rád pro kontext věnoval pár slov v následující úvodní podkapitole.

### 1.2 Předcházející práce

Ve své bakalářské práci [4], která předchází této diplomové práci, jsem navrhl vlastní prototyp systému pro rozpoznávání gest. Mnou navržený systém byl založen na matici senzorů pro měření vzdálenosti, který se osvědčil, ale zároveň se v průběhu času projeví některé jeho nedostatky. Také se v průběhu posledních dvou let na trhu objevily nové typy senzorů, které nabízí potenciální možnosti vylepšení původní konstrukce.

Již původní idea byla vytvořit celý systém, což se ale ukázalo jako příliš rozsáhlé téma na rámec bakalářské práce. Nyní ale na tento návrh navazují s cílem rozšířit původní koncept na rozsáhlejší systém řízení nebo automatizace skládající se z nezávislých komponent s oddělenou funkcí a bezdrátovým komunikačním rozhraním - nikoliv jako v původním návrhu, kde jedno zařízení zajišťovalo funkci ovládacího rozhraní, řídicí jednotky a aktivních systémových prvků v jednom. Nový přístup výrazně zvýší flexibilitu celého systému a zároveň přinese možnost zcela nových funkcí. Následující obrázek 1.1 reprezentuje zjednodušené schéma takového systému.



**Obrázek 1.1:** Zjednodušené schéma navrhovaného systému

Mým osobním zaměřením je obecně návrh a konstrukce hardwaru, tudíž hlavním cílem v této práci je demonstrace fyzické realizovatelnosti celého systému. Mimo toho jsou dílčí cíle této následující:

- analýza aktuálního stavu v souvisejících oblastech elektroniky
- návrh modelového systému na základě předcházející analýzy
- realizace systému v podobě funkčního vzorku
- zhodnocení parametrů funkčního vzorku
- zhodnocení finančních nákladů realizace



## Kapitola 2

### Analýza dostupných komponent

Od dokončení mé bakalářské práce proběhl nezanedbatelný vývoj elektronických komponent, zejména v oblasti senzorů, mikrokontrolérů a prvků internetu věcí. Též došlo k vývoji v oblasti používaných programovacích jazyků a na trhu se objevují s nimi spojené vývojové nástroje. Tato celková změna situace na trhu mě přivedla k zásadnímu přehodnocení použité součástkové základny.

Následující podkapitoly se snaží popsat současnou situaci pomocí reprezentativního vzorku se zaměřením na komponenty vhodné do mobilních zařízení, zejména pro zařízení s nízkou spotřebou. Nejedná se tedy o kompletní výčet veškerých dostupných komponent, který by byl mnohonásobně rozsáhlejší. Pro obecné vysvětlení je však podle mne tento přístup dostačující. V jednotlivých podkapitolách, kde je to třeba, se zmíním též například o komunikačních standardech.

#### 2.1 Mikrokontroléry

V současnosti jsou na trhu dostupné mikrokontroléry s 8, 16 a 32 bitovými procesory, jejichž podíl je poměrně rovnoměrný [7] navzdory narůstajícím zájmu o platformu 32 bitovou platformu s jádrem od společnosti ARM. Za zmínku stojí nadále velký zájem o 16 bit platformu na Americkém trhu [8].

##### 2.1.1 8-bitové architektury

- **AVR8** - Do této skupiny patří zejména řady ATtiny (např.: ATtiny85 [10]) a ATmega (např.: ATmega328 [9]). Jedná se o dlouhodobě prověřenou a rozšířenou sérii mikrokontrolérů, z nichž ATmega328p tvoří základ známé vývojové platformy Arduino<sup>TM</sup>Uno. V nedávné době byly uvedeny na trh i nové modely (např.: ATtiny817 [11]), které rozšířily množství dostupných periférií. Vzhledem k popularitě těchto mikrokontrolerů mají rozsáhlou podporu ve vývojových nástrojích a lze pro ně použít mnoho různých vývojových prostředí.
- **PIC18** - Mezi zástupce této skupiny patří zejména série PIC18F (např.: PIC18F4520 [12]). Tyto mikrokontroléry obecně vynikají velkým množstvím periférií a analogově-digitálním převodníkem s vyšším rozlišením než konkurenční architektury. Jedná se též o dlouhodobě prověřenou architekturu s kvalitním zázemím a dostupnými vývojovými nástroji.



### ■ 2.1.4 Programovací jazyky

Současně s vývojem mikrokontrolerů narůstají i požadavky na jejich programování. Rozsáhlejší a obtížněji spravovatelný kód nebo požadavek na vícevláknové aplikace komplikují vývoj softwaru a zvyšují riziko poruch. Tyto nedostatky se snaží řešit následující dva programovací jazyky.

- **Rust** - Tento programovací jazyk se primárně zaměřuje na bezpečnost a stabilitu aplikací [5]. Svoji syntaxí vychází z jazyka C/C++ avšak snaží se řešit jeho nedostatky v oblasti správy paměti - například známá rizika spojená s dynamickou alokací nebo se správou vícevláknových aplikací. Rust byl vyvinut společností Mozilla a byl původně určen k vývoji PC aplikací, aktuálně tak standardní knihovny Rust nepodporují mikrokontroléry a některé architektury (např.: ARM M0+ [6]) nejsou plně podporované ani kompilátorem. Rust ale prochází velmi dynamickým vývojem, získal si značnou pozornost a tak lze v dohledné době očekávat jeho velké uplatnění ve vestavěných systémech.
- **MicroPython** - Odvozením od již velmi rozšířeného jazyka Python 3 [14] vznikla jeho odlehčená verze určená pro vestavěné systémy. MicroPython má hlavní cíl zrychlit vývoj nových aplikací a v současnosti již podporuje mnoho platforem mikrokontrolerů. Stejně jako Python umožňuje komplexní správu vícevláknových aplikací nebo import velkého množství standardních knihoven, kterými vyniká nad ostatními programovacími jazyky.

## ■ 2.2 Bezdrátová komunikace

Odvětví IoT se stále více rozvíjí a s ním i požadavky na možnosti bezdrátové komunikace, zejména je kladen důraz na nízkou spotřebu, spolehlivost, velký dosah a jednoduchost implementace. Na trhu se tak objevují nové standardy komunikačních rozhraní nebo modifikace již rozšířených standardů.

Vzhledem k tomu, že návrh vlastního přijímače/vysílače s anténou na tištěném spoji je časově i technicky náročný a je tedy snaha zjednodušit konstrukci hardwaru, tak se na trhu objevují dedikované systémy na čipu nebo přímo i celé moduly. Tyto systémy nebo moduly používají pásma ISM pásma 433MHz, 868MHz, 915MHz a 2,4GHz a můžeme se u nich setkat s následujícími standardy.

- **Bluetooth** - Již dlouhou dobu používaný standard, který byl navržen pro přímou komunikaci mezi dvěma zařízeními. V současnosti je již definována verze 5, která v sobě zahrnuje funkce Bluetooth Low Power a Bluetooth Mesh [21], která rozšiřuje možnost komunikace na celou síť zařízení a výrazně tak zvyšuje možný dosah komunikace. Komunikace probíhá v pásmu 2,4GHz.



- **ZETAPLUS** - Velmi dostupný a rozšířený modul společnosti RF Solutions, existují verze pro tři různé frekvence [19] 433MHz, 868MHz a 915MHz. Modul má integrovanou anténu a k jeho použití je tedy potřeba minimální znalost RF komunikace. Pro komunikaci jsou použity proprietární protokoly.
- **RF-LORA** - Je dalším modulem od společnosti RF Solutions. Tento modul je srovnatelný s ZETAPLUS modulem, avšak narozdíl od něj má kompletně implementované protokoly standardu LoRa. Existují dvě varianty pro pásma 868Mhz a 915Mhz.
- **SPSGRFC a SPBTLE-S1** - Jedná se o dva na první pohled velmi podobné moduly [25][26], které se ale shodují pouze ve fyzických rozměrech a uspořádání pinů. Modul SPSGRFC je bezdrátovým modulem pro pásma 433MHz, 868MHz a 915MHz, zatímco SPBTLE-S1 je modul pro Bluetooth verze 4.2. Jejich shodné fyzické rozměry mohou představovat zajímavou výhodu - bez jakékoliv změny návrhu tištěného spoje je možné vytvořit modifikace téhož zařízení pro Bluetooth nebo pro komunikaci na delší vzdálenost v ISM pásmech.
- **ESP32-WROOM** - Modul založený na již zmíněném bezdrátovém mikrokontroléru ESP32 [27]. Jedná se o velice flexibilní řešení, může sloužit pouze jako komunikační modul, kdy integrovaný procesor zajišťuje zpracování bezdrátové komunikace, nebo přímo může tvořit jádro navrhovaného systému, kdy je procesor plně naprogramován uživatelem. V případě použití jako bezdrátového modulu dodává výrobce oficiální firmware po jehož naprogramování komunikuje modul po sériové lince a je ovládán pomocí dedikovaných AT příkazů. Je-li třeba modul pro účely aplikace plně naprogramovat, tak je možné použít oficiální knihovny v jazyce C nebo pro rychlý návrh komunitní firmware a knihovny Micropython.

Na následujících obrázcích 2.1a, 2.1b, 2.1c a 2.1d na straně 8 je možné vidět uvedené bezdrátové moduly.



(a) : Modul ZETAPLUS



(b) : Modul ESP32-WROOM



(c) : Modul SPSGRFC



(d) : Modul SPBTLE-S1

Obrázek 2.1: Bezdrátové komunikační moduly [28]

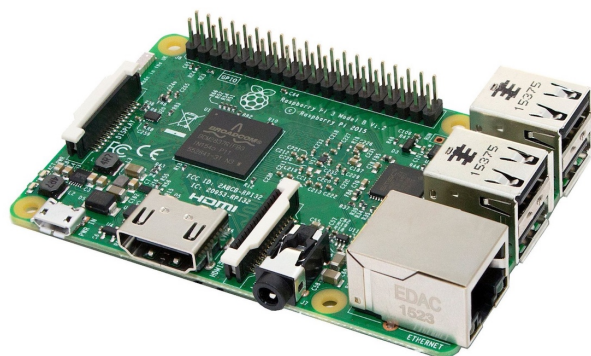
## 2.3 Embedded Linux platformy

S narůstajícími nároky na výpočetní výkon malých zařízení a s rozšiřujícím se uplatněním operačního systému Linux, na trhu se objevuje stále více platform pro embedded Linux. Ve většině případů se jedná průmyslové moduly, které vyžadují vlastní návrh zařízení, kde je tento modul umístěn. Mimo tyto moduly se ale zároveň rozšiřují takzvané SBC (Single board computer - jednodeskový počítač), které najdou uplatnění v menších projektech, kde návrh vlastního hardwaru není finančně výhodný. Tyto počítače narozdíl od embedded Linux modulů mají typicky sadu rozhraní obsahující USB, ethernet, Wi-Fi nebo HDMI pro připojení displeje.

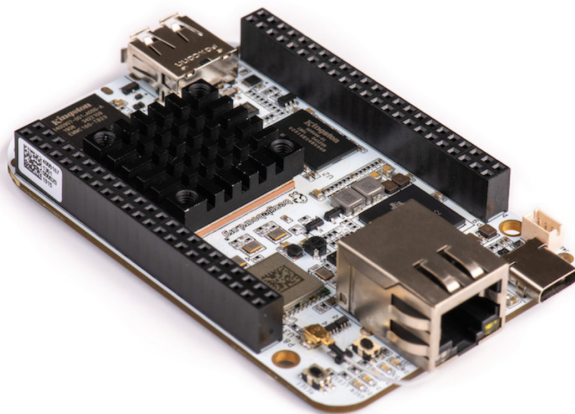
- **Raspberry Pi** - Pravděpodobně nejrozšířenější platforma pro embedded Linux. Původně tato platforma vznikla pro výukové účely, ale již se běžně objevuje v některých průmyslových aplikacích. V současnosti již existuje verze 4, jejíž jádro tvoří čtyřjádrový procesor a mezi perifériemi můžeme najít 2x mini HDMI, 2x USB 3.0, 1x USB Typ C a gigabitový ethernet.



- **Banana Pi** - Modifikace Raspberry Pi 3, oproti běžným periferiím přidává SATA rozhraní pro připojení disku. Tato modifikace je vhodná pro vytváření serverových aplikací.
- **ASUS Tinkerboard** - Modifikace Raspberry Pi 3 navržená firmou ASUS s cílem zvýšit výpočetní výkon.
- **BeagleBone** - Zajímavá platforma s procesorem firmy Texas Instruments. Její hlavní výhodou oproti jiným platformám je nižší spotřeba - embedded Linux platformy jsou obecně energeticky náročné na provoz.



(a) : Raspberry Pi 3B+ [30]



(b) : BeagleBone AI [31]

Obrázek 2.2: Jednodeskové počítače s embeded Linux

## 2.4 Senzory pro rozpoznávání gest

Již před zahájením této rešeršní práce jsem měl otestovaný senzor APDS-9960 firmy Broadcom. Vzhledem k tomu, že se mi tento senzor osvědčil a vzhledem

k tomu, že mám k tomuto senzoru kompletní knihovny funkcí, tak byl tento senzor téměř jasnou volbou. V průběhu řešení jsem neobjevil žádný senzor se srovnatelnými parametry mimo jeho novější verze APDS-9500.

- **APDS-9960** - Infračervený senzor pro rozpoznávání gest, osvětlení a barev. Tento systém využívá čtyřzónový přijímač a interní paměť do které se ukládá časový průběh příjmu ze všech čtyř směrů. Z těchto časových průběhů je poté možné vyhodnotit směr nebo rychlost pohybujícího se předmětu, případně i složitější gesta. Vlastní vyhodnocení musí provádět mikrokontrolér, ke kterému je tento senzor připojen.
- **APDS-9500** - Novější verze senzoru APDS-9960. Oproti svému předchůdci využívá matici pixelů 16x16 a obsahuje integrovanou vyhodnocovací logiku. Jedná se ale o výrazně dražší senzor.

## Kapitola 3

### Výsledná podoba systému

Na základě analýzy uvedených součástí a úvaze nad možnými řešeními jsem vytvořil následujících pět možností realizace navrhovaného systému.

	MCU	RF rozhraní	RF protokol	Řídící jednotka
1	STM32WB	<i>Integrované</i>	Zigbee	Raspberry Pi 3
2	nRF52840	<i>Integrované</i>	ANT/Bluetooth	Raspberry Pi 3
3	STM32G0	ESP32-WROOM	Wi-Fi	Raspberry Pi 4
4	STM32G0	SPSGFRC/SPBTLE	ISM/Bluetooth	Raspberry Pi 4
5	STM32G0	RF-LORA/SX1272	LoRaWAN	LoRa Gateway

**Tabulka 3.1:** Navrhované varianty

Uvedené varianty jsem prověřil podrobněji z hlediska softwaru a vyřazovací metodou jsem postupně zhodnotil proveditelnost jejich realizace. Důvody vyřazení jednotlivých variant byly následující:

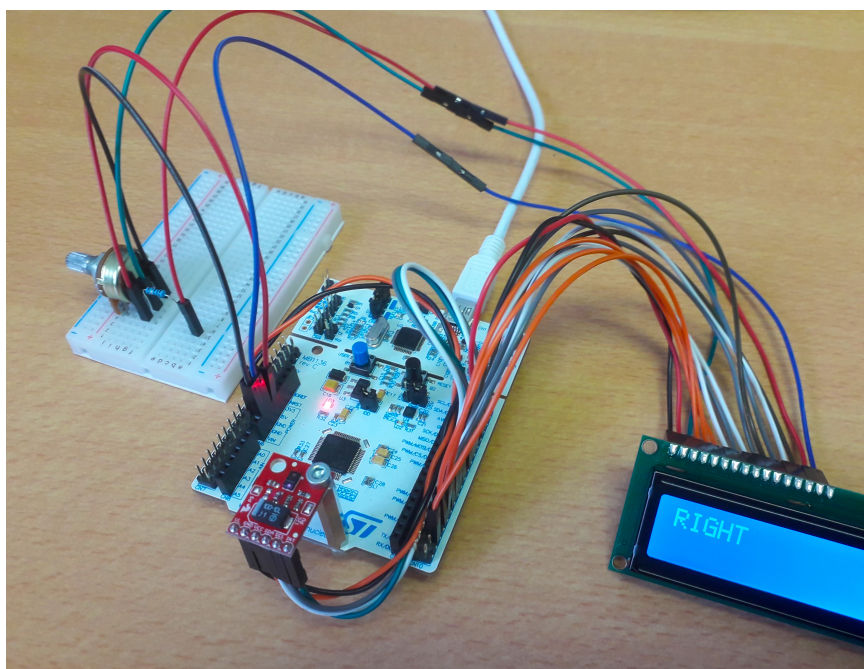
- **Varianta 1** - Mikrokontrolér ST32WB vyžaduje naprogramování dedikovaným firmwarem pro rádiový koprocesor. Tento firmware vyžaduje licenci a není velmi dobře zdokumentovaný. Nejsou dostupné HAL funkce jako pro ostatní periferie. Lze předpokládat, že absence dokumentace a knihoven je důsledkem faktu, že série mikrokontrolerů ST32WB je nová a časem se tato situace změní.
- **Varianta 2** - Obdobný problém jako ve variantě jedna. Navíc by tato varianta vyžadovala kompletní změnu ekosystému (jsem dlouhodobě uživatelem vývojových prostředků STMCubeMX). Tato varianta by byla výrazně více časově náročná.
- **Varianta 4** - Moduly SPSGFRC a SPBTLE postrádají aplikační knihovny, to by reálně znamenalo velké množství programátorské práce pro vytvoření knihovny funkcí. Příliš časově náročná varianta.
- **Varianta 5** - Hlavním faktorem vyřazení je v tomto případě cena. Bezdrátové moduly LoRa jsou výrazně dražší (až dvojnásobně) než jiné bezdrátové moduly. Pro plné využití je navíc potřeba LoRa Gateway, která vysoce svojí cenou převyšuje veškeré ostatní komponenty.

Po vyřazení ostatních variant jsem zvolil modifikovanou **variantu 3**, která nad ostatními vyniká v první řadě cenou, dále jednoduchostí konfigurace a díky použití Wi-Fi možností využít existující infrastrukturu (ještě nižší cena a jednodušší konfigurace). Modifikací bylo využití mikrokontrolerů série STM32L476 pro zařízení rozpoznávající gesta. Ostatní prvky využívají komponenty dle původní **varianty 3**.

Pro vybranou variantu jsem otestoval všechny dílčí prvky pomocí vývojových kitů, abych prověřil i jejich reálné parametry. Zejména jsem jako první testoval senzor APDS9960 v kombinaci s STM32L476, a v druhém testu konfiguraci a komunikaci s ESP32 v kombinaci s programovacím jazykem MicroPython.

### 3.1 Testování APDS9960

Senzor APDS9960 jsem již dříve testoval v jednoduchém zapojení pro demonstraci jeho funkcí a tedy jsem měl již k dispozici i zdrojové kódy pro jeho zprovoznění. Jako základ posloužila volně dostupná knihovna pro Arduino od společnosti Sparkfun [33]. Tuto knihovnu jsem očistil od funkcí, které jsem nepotřeboval, a přepsal jsem ji z jazyka C++ do jazyka C společně s knihovnami HAL (knihovny STMicroelectronics pro hardwarovou abstrakci). Následně jsem sestavil testovací přípravek, jak je možné vidět na obrázku 3.1



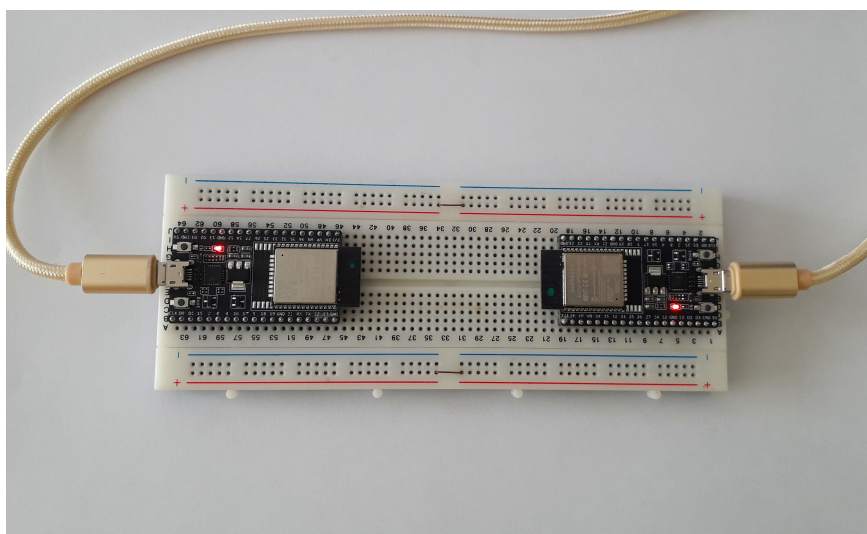
**Obrázek 3.1:** Testovací přípravek APDS-9960

Vlastní ověření knihoven bylo poměrně rychlé, konfigurace vývojového kitu mikrokontroléru i vlastního senzoru proběhla bez větších komplikací. Pro pohodlnost jsem přípravek doplnil od znakový display a podrobnější výstup

jsem vypisoval přes virtuální sériový port na PC. Tímto jsem si ověřil, že jsou zvolené komponenty skutečně použitelné a nehrozí větší riziko budoucích komplikací a případného zdržení navazujících úkonů.

## 3.2 Testování ESP32

Pro ověření funkčnosti modulů ESP32-WROOM-32D jsem pořídil dva vývojové kity, viz. obrázek 3.1. Do těchto kitů jsem nahrál zdrojový kód pro MicroPython [14] ve verzi 1.12 a následně jsem otestoval dílčí funkcionality.



**Obrázek 3.2:** Testovací přípravek ESP32-WROOM-32D

Hlavní funkcionalitou, kterou jsem potřeboval ověřit, bylo připojení k Wi-Fi a komunikace mezi moduly, případně mezi modulem a PC. Test jsem provedl konfigurací přes REPL (interaktivní terminál) na virtuálním sériovém portu modulu ESP32. Všechny dílčí testy proběhly bez technických komplikací a pro stručnost je dále uvádím pouze v bodech:

- Připojení modulů ESP32 k lokální Wi-Fi síti
- Ping modulů z PC
- Otevření socketu pro režimy UDP nebo TCP
- Jednosměrné odeslání testovacího paketu
- Odeslání paketu s potvrzením příjmu

Po tomto testu jsem již měl ověřenou funkci všech komponent, které jsem se rozhodl použít a mohl jsem tímto přejít k návrhu hardwaru.





# Kapitola 4

## Hardware

Vzhledem tomu, že se jedná o celý systém skládající ze z několika různých prvků (viz. obrázek 1.1 v úvodní kapitole, str. 2), tak pro přehlednost budu nadále jednotlivé prvky systému označovat následujícím způsobem:

- *Sense* - Zařízení s rozhraním pro rozpoznávání gest
- *Control* - Aktivní systémový prvek řídící osvětlení (RGB LED pásek)
- *Server* - Řídící jednotka systému

Tuto názvovou konvenci i udržuji jak ve schématech a podkladech pro návrh DPS, tak ve zdrojovém kódu. Vlastní návrh hardwaru jsem provedl v následujících třech krocích:

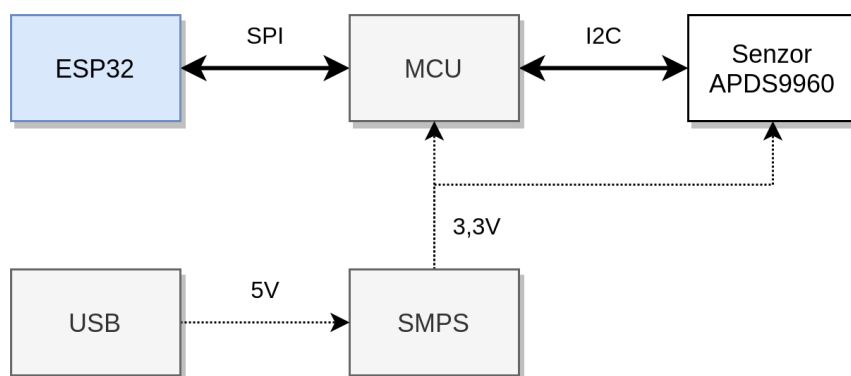
- návrh základního blokového schématu s jednotlivými funkční bloky, propojení mezi nimi a napájením
- kreslení funkčního schématu s výběrem konkrétních elektronických komponent
- návrh DPS a generování výrobních dat

Protože *Server* nepoužívá žádný dedikovaný hardware, tak se v této kapitole nadále věnuji pouze systémovým prvkům *Sense* a *Control*.

### 4.1 Bloková schémata

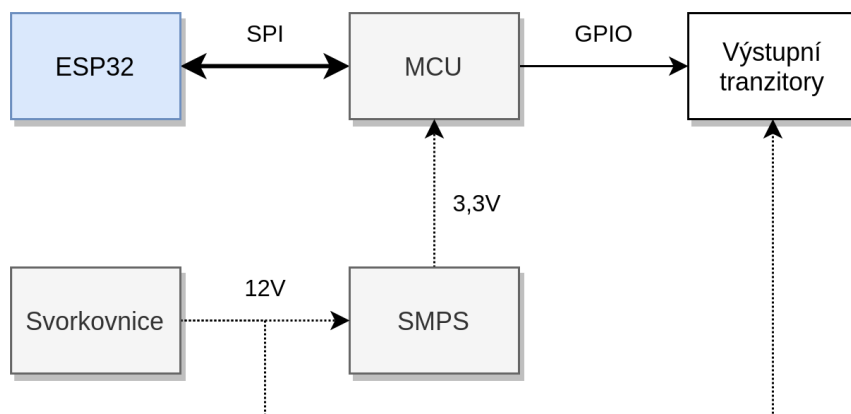
#### 4.1.1 *Sense*

Zařízení *Sense* zajišťuje detekci gest a následně je odesílá, z toho vyplývá, že musí mimo MCU obsahovat Wi-Fi modul a vlastní senzor. Samozřejmostí je též i napájení, kde jsem zvolil pro praktičnost USB, které mi mimo napájení umožní vytvářet kontrolní výstupy přes virtuální sériový port. Jednoduché blokové schéma lze vidět na obrázku 4.1.

Obrázek 4.1: Blokové schéma *Sense*

### 4.1.2 Control

Zařízení *Control* přijímá příkazy a následně dle nich řídí výstupy. Pro účely modelové realizace jsem se rozhodl ovládat RGB LED pásek a výstupy tak tvoří tranzistorové pole. Jako zdroj napájení slouží 12V shodné s napětím pro LED pásek. Jednoduché blokové schéma lze vidět na obrázku 4.2

Obrázek 4.2: Blokové schéma *Control*

## 4.2 Funkční schémata

Pro návrh zařízení jsem použil návrhový systém KiCad, který je přístupný volně ke stažení, viz. [34]. Hlavní motivací byla otevřenost programu a dostatečná funkcionalita, která se dlouhodobě rozšiřuje. Pro všechna schémata jsem využil funkci hierarchických schémat, kde je možné části zapojení uzavřít do bloků se vstupy a výstupy, a tyto bloky lze poté zapojit na vyšší úrovni.

### ■ 4.2.1 Sense

#### ■ MCU + Wi-Fi

Nejprve jsem se zaměřil na blok MCU + Wi-Fi, kde bylo nejprve třeba navrhnout zapojení SPI mezi mikrokontrolérem STM32L476 a modulem ESP32. Toto zapojení jsem dále doplnil o signalizační linky a také sdílený konektor se sériovým rozhraním jak z mikrokontrolérem tak z ESP32. Tento konektor slouží jako programovací konektor nebo může po spojení jumperů fungovat jako přímá propojka mezi mikrokontrolérem a ESP32, což umožní případnou komunikaci po sériové lince mezi nimi. V závěru jsem již doplnil pouze reset tlačítka, signalizační led a standardní blokovací kondenzátory. Výsledné zapojení je k nahlédnutí v příloze A1, list 4/5.

#### ■ Senzor

V další části schématu jsem se věnoval senzoru APDS9960. Ten je zapojen z větší části dle zkušebního modulu, který jsem měl k dispozici. Pouze jsem zde nahradil velký tantalový kondenzátor kaskádou menších keramických kondenzátorů kvůli úspoře místa v okolí senzoru. Výsledné zapojení je k nahlédnutí v příloze A1, list 5/5.

#### ■ USB

Na závěr jsem se věnoval bloku napájení z USB. Zde jsem použil již osvědčené zapojení s integrovaným obvodem ST1S03, které jsem použil ve své předchozí práci [4]. Výstupní napětí je v tomto případě 3,3V. Výsledné zapojení je k nahlédnutí v příloze A1, list 3/5. Ve schématu je možné vidět i zapojení pro nabíjení Li-Pol baterií, které nyní nebude využito, slouží pouze jako příprava pro budoucí potenciální modifikace.

### ■ 4.2.2 Control

#### ■ MCU + ESP32

Prvním blokem, kterému jsem se v návrhu věnoval byl stejně jako u zařízení *Sense* mikrokontrolér a Wi-Fi modul. Zapojení je v tomto případě principiálně shodné, pouze jsem použil jiné MCU, konkrétně STM32G031 v menším pouzdru. Výsledné zapojení je k nahlédnutí v příloze A2, list 2/4.

#### ■ Výstupy a vstupy

Jako druhý blok jsem navrhoval zapojení výstupů a vstupů. Pro řízení výstupů jsem použil tranzistorové pole TPL7407LDR, které je přímou náhradou běžných tranzistorových polí ULN2003. Oproti nim se jedná o MOSFETy nikoliv Darlingtonovy tranzistory, díky čemuž mají menší úbytek napětí na výstupu v sepnutém stavu. Dále jsem do obvodu přidal přípravu na dvě tlačítka s pull-up rezistorem, filtračním kondenzátorem a diodami BAT54S

pro základní ochranu proti ESD. Výsledné zapojení je k nahlédnutí v příloze A2, list 4/4.

## ■ Napájení

Posledním navrhovaným blokem byla část napájení. Zde jsem pro jednoduchost použil kompletní modul spínaného zdroje TSR 1-2433, jehož maximálním vstupním napětím je 24V a výstupním napětím jsou 3,3V. Dále jsem pro minimální ochranu obvodu přidal polymerovou pojistku a transil SMAJ24CA do 24V. Výsledné zapojení je k nahlédnutí v příloze A2, list 3/4.

## ■ 4.3 Návrh DPS

Funkční vzorky zařízení jsem se rozhodl navrhnout tak, aby byly se nejednalo o holé DPS, ale aby měly reprezentativní vzhled odpovídající jejich použití. Návrh DPS jsem tedy zahájil výběrem vhodných konstrukčních krabic. Pro zařízení *Sense* jsem hledal konstrukční krabici vhodnou pro přenosná zařízení a zvolil jsem krabičku TEK0 10007.5 [35]. Pro zařízení *Control* jsem hledal naopak krabici vhodnou pro elektroinstalace a zvolil jsem tedy propojovací krabici SPELBERG MINI-25 [36].

Poté co jsem měl jasně vymezen rozměr navrhovaných DPS a mohl jsem přejít k vlastnímu návrhu. Mimo běžných návrhových pravidel bylo nutné pouze uvažovat správné umístění Wi-Fi modulu. Zde jsem se již v minulosti setkal s komplikacemi u rádiových modulů a proto jsem se držel doporučení výrobce dle dokumentace.

## ■ 4.4 Osazení a zprovoznění

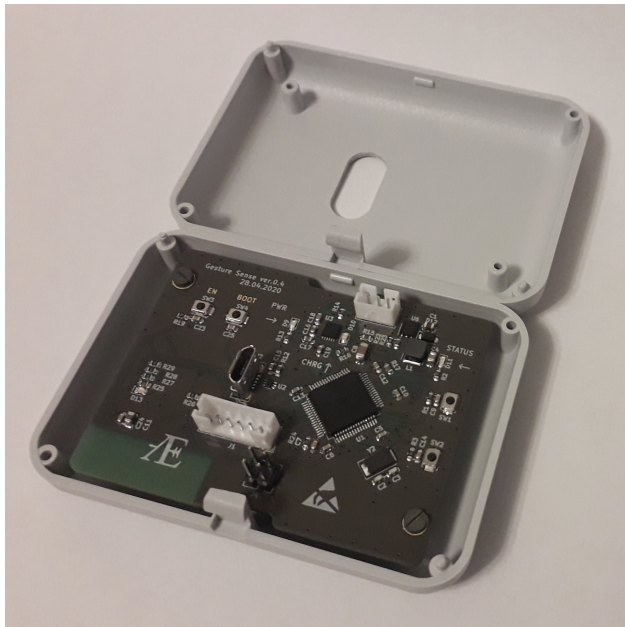
Vzhledem k technologickým prostředkům, které jsem měl k dispozici jsem se rozhodl pro ruční osazení DPS. Zapájení většiny součástek jak na desce *Sense* tak na desce *Control* nepředstavovalo komplikaci, větší pozornost vyžadovala pouze QFN pouzdra integrovaných obvodů. Speciální přístup byl nutný u senzoru APDS9960, který jako optický senzor musí být pájen takzvaně suchými metodami, tedy bez přidaných tavidel ani jiných kapalin, které by mohly proniknout dovnitř senzoru a poškodit jej. Tento senzor jsem tedy na deskách osazoval jako poslední za použití horkovzduchu až po kompletním omytí desek po předcházejícím pájení.

Po osazení jsem prověřil funkčnost zařízení v následujících krocích, po jejichž dokončení jsem přešel do fáze návrhu softwaru:

- Přeměření hodnot napájecích napětí zdrojů
- Nahrání zdrojového kódu MicroPython do ESP32
- Ověření možnosti konfigurace ESP32 po sériovém rozhraní
- Nahrání testovací konfigurace do mikrokontrolerů

- Test komunikace senzoru přes I2C

Fotografie osazených a zprovozněných DPS včetně jejich konstrukčních krabic lze vidět na následujícím obrázku 4.3.



(a) : Zařízení Sense



(b) : Zařízení Control

**Obrázek 4.3:** Osazené DPS s konstrukčními krabicemi



# Kapitola 5

## Software

Návrh softwaru byl relativně rozsáhlou činností, kterou bylo třeba rozdělit na dílčí části. Dobrou praxí je v tomto případě nejprve definovat obecně fungování systému jako celku, použitých komunikačních protokolů a příkazů v rámci komunikačního rámce a poté přejít k podrobnostem implementace dílčích zařízení.

V některých částech systému je použit zdrojový kód v jazyce C a v jiných v jazyce Python. To vyžaduje dostatečně hlubokou úvahu nad tím, jak vhodně implementovat dílčí funkce s ohledem na součinnost dvou různých programovacích jazyků, které následují odlišná paradigmatata.

Použití dvou programovacích jazyků ale v některých momentech přináší nezanedbatelné výhody, což bylo mojí motivací takto celý systém navrhovat. Například v jazyce C bylo výrazně snazší implementovat nízkourovňové funkce, řízení hardwarových výstupů a případně i úsporných režimů. Naproti tomu v jazyce Python bylo velmi jednoduché konfigurovat komunikaci přes Wi-Fi a zprovoznit potřebné síťové protokoly, protože většina těchto funkcí je již součástí standardních knihoven.

Při návrhu softwaru jsem v souladu s předchozími poznámkami postupoval v následujících krocích:

- Návrh celkové struktury systému
- Definice základního komunikačního protokolu
- Návrh a programování *Control*
- Návrh a programování *Server*
- Návrh a programování *Sense*

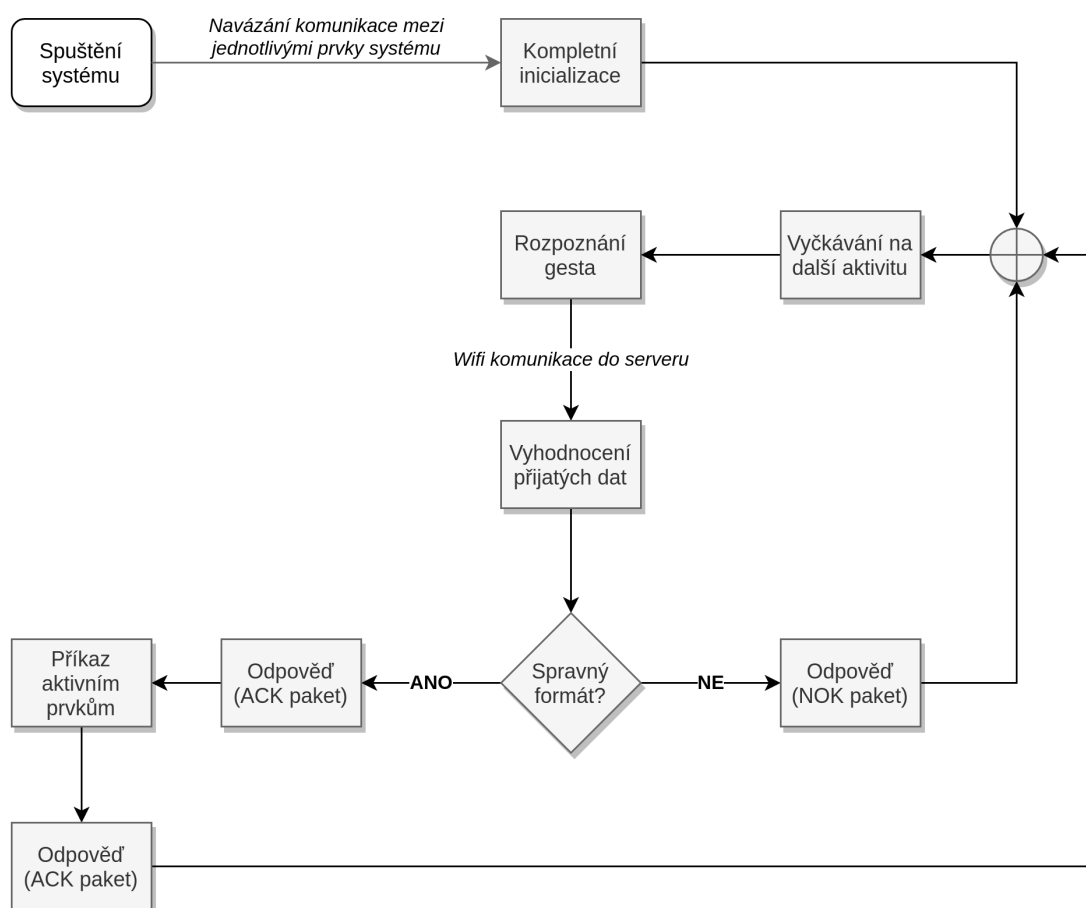
Těmto dílčím krokům se věnuji následujících podkapitolách.

## 5.1 Celková struktura systému

Po prvotní inicializaci celý systém vyčkává na aktivační událost v podobě detekce gesta v zařízení *Sense*. To po zjištění známého gesta zašle informační paket na *Server*, který vytvoří odpovídající příkazový paket do cílového zařízení *Control*. Tato implementace zároveň umožní připojení více aktivních i ovládacích prvků.

Celý systém bude pro jednoduchost statický, tedy všechna zařízení budou mít pevně dané IP adresy. Z tohoto důvodu musí mít všechna zařízení informaci o použitých IP adresách. To zajišťuje jednotný konfigurační soubor, který je shodný pro všechna zařízení a obsahuje informaci o přihlašovacích údajích na Wi-Fi síti, tak důležité IP adresy jako například adresu serveru i použité komunikační porty.

Při jakékoliv komunikaci bude pro rychlost použit protokol UDP a zařízení které obdrží zprávu vždy posílá potvrzovací zprávu. Přesný formát komunikačního rámce, který k tomuto je použit uvádím v následující podkapitole.



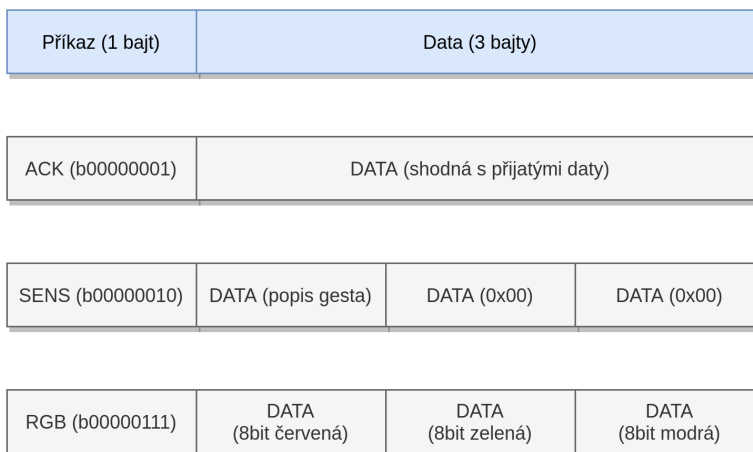
**Obrázek 5.1:** Blokový diagram celého systému



## 5.2 Komunikační rámec

Pro komunikaci mezi zařízeními je použit jednoduchý komunikační rámec, který má pevně danou délku čtyři bajty. Jeho vnitřní strukturu pro příklad tří nejdůležitějších paketů je možné vidět na následujícím obrázku 5.2. Funkce jednotlivých paketů je následující:

- ACK - potvrzovací paket, cílové zařízení jím v komunikaci potvrzuje přijetí předchozího paketu
- SENS - informační paket, který zasílá zařízení *Sense*, obsahující informaci o detekovaném gestu
- RGB - příkazový paket, který nastavuje hodnoty



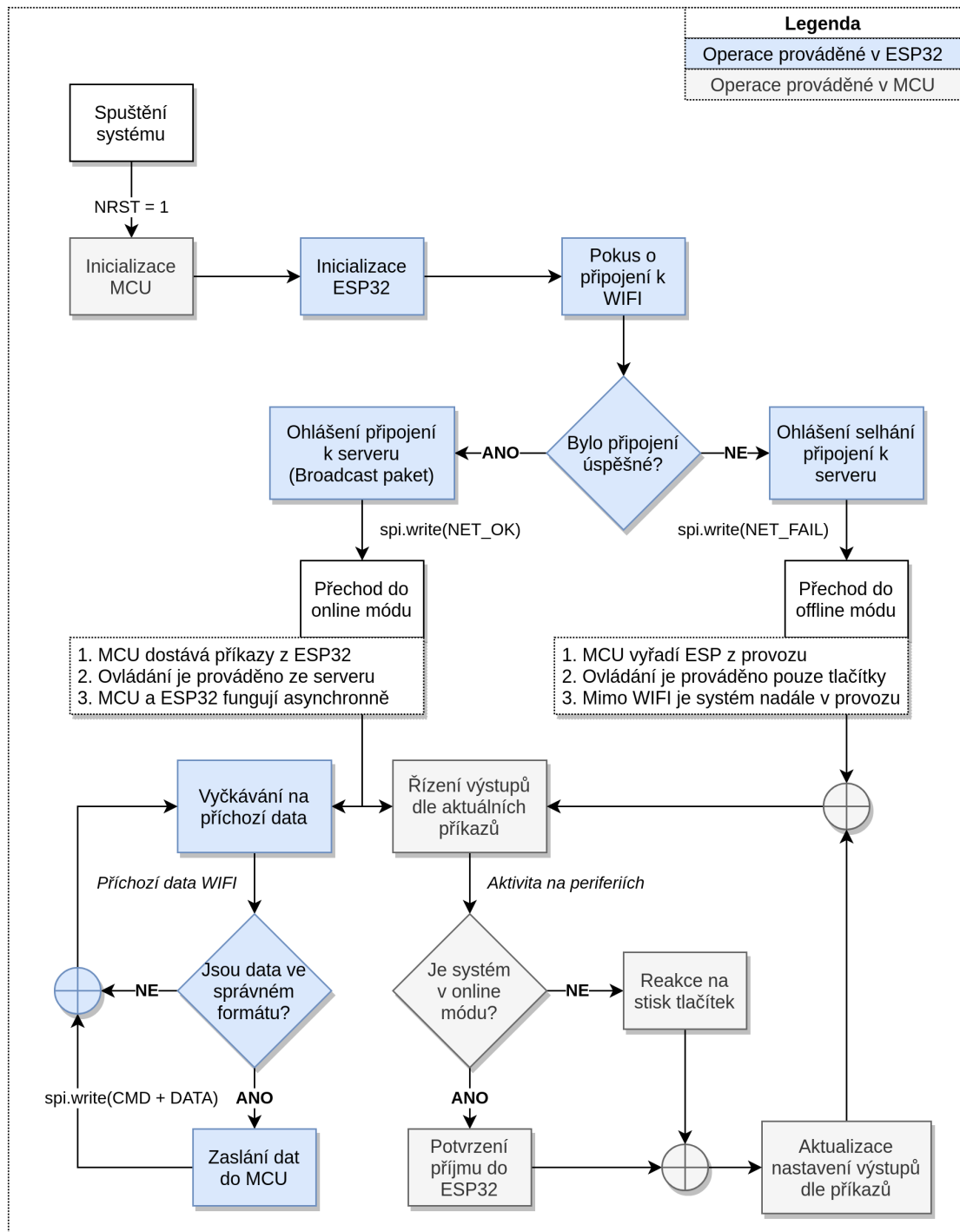
**Obrázek 5.2:** Komunikační rámec včetně příkladu paketů ACK, SENS a RGB

## 5.3 Control

Zařízení *Control* má celkem dva procesory, jedním z nich je mikrokontrolér STM32G031 a druhý je koprocesor rádiového modulu ESP32-WROOM. Tomuto odpovídá i struktura programu, který obsahuje dvě části vzájemně spolupracující v asynchronním režimu. Předávání dat mezi těmito dvěma procesory zajišťuje sběrnice SPI. Blokový diagram popisující funkci celého softwaru je na obrázku 5.3 na straně 24.

Modul ESP32 zajišťuje veškerou funkcionalitu týkající se připojení k síti Wi-Fi, zpracovává příchozí data a vytváří rámce ACK v případě správně doručených příkazů. Doručená data poté předává mikrokontroléru.

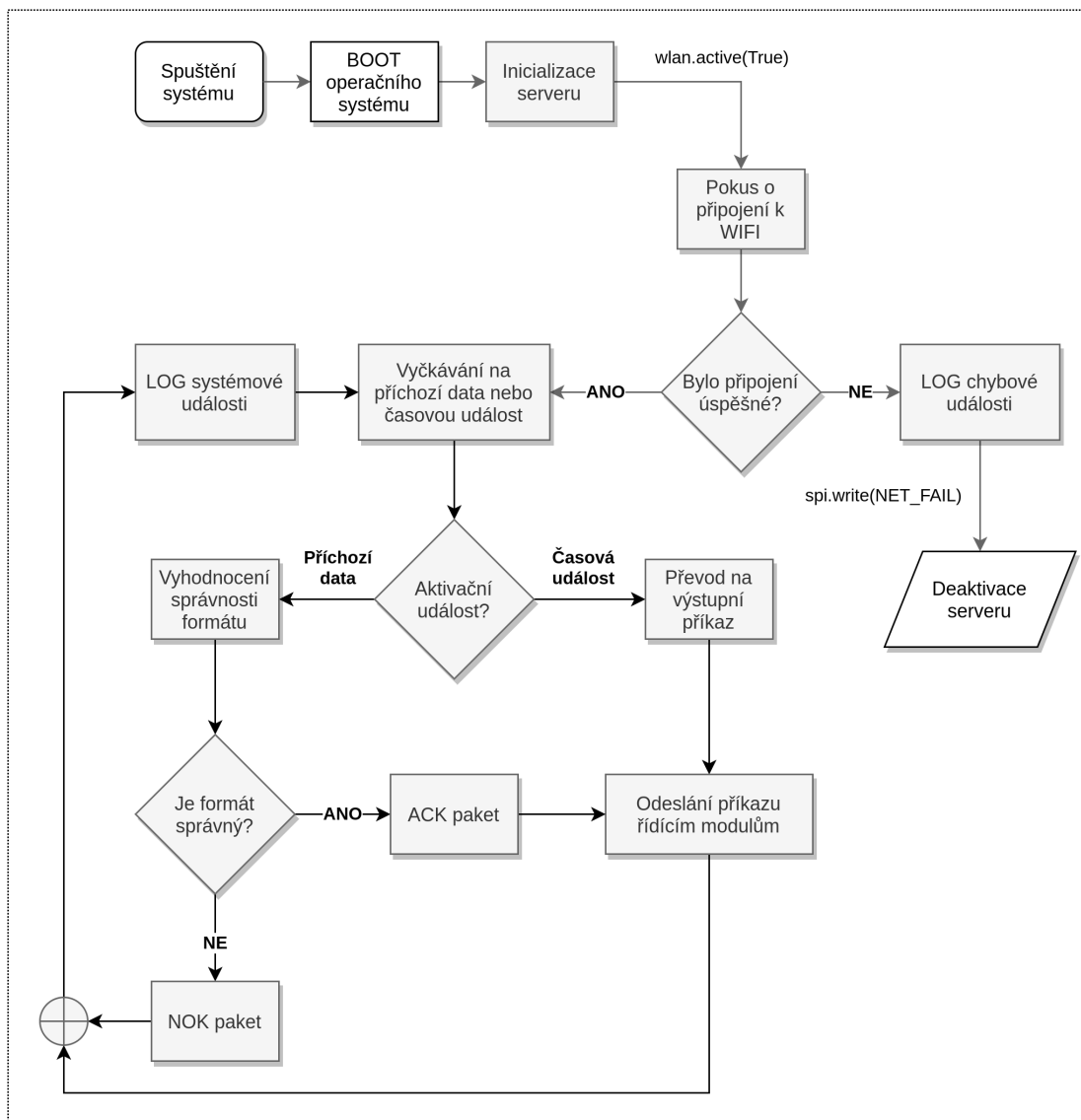
Mikrokontrolér STM32G0 zajišťuje řízení výstupů a zajišťuje nízkouúrovňové funkce. Při připojení napájení se spouští jako první a následně aktivuje modul ESP32, který vyžaduje správnou bootovací sekvenci vstupů a spouští se výrazně déle.

Obrázek 5.3: Blokový diagram *Control*

## 5.4 Server

*Server* je plně virtuální implementovaný v jazyce Python a není tak vázaný na konkrétní hardware. Během návrhu jsem jej provozoval na svém PC s Linux Mint 19.3 a následně jsem jej přesunul na Raspberry PI 4.

Jádro *Serveru* tvoří směrovací tabulku příkazů tabulka implementovaná jako knihovna. Knihovny v jazyce Python představují datový typ, který je optimalizovaný na vyhledávání vazeb mezi dvěma prvky (klíč a hodnota). V tomto případě knihovna obsahuje jako klíč vstupní příkaz, který odpovídá datům přicházejícím z komponenty *Sense* a hodnotou jsou IP adresy a příkazy určené zařízení *Control*. Pro vytváření konfigurace jsem vytvořil konfigurační skript, který tyto vazby uloží do souboru pro *Server*.



Obrázek 5.4: Blokový diagram *Server*

## 5.5 Sense

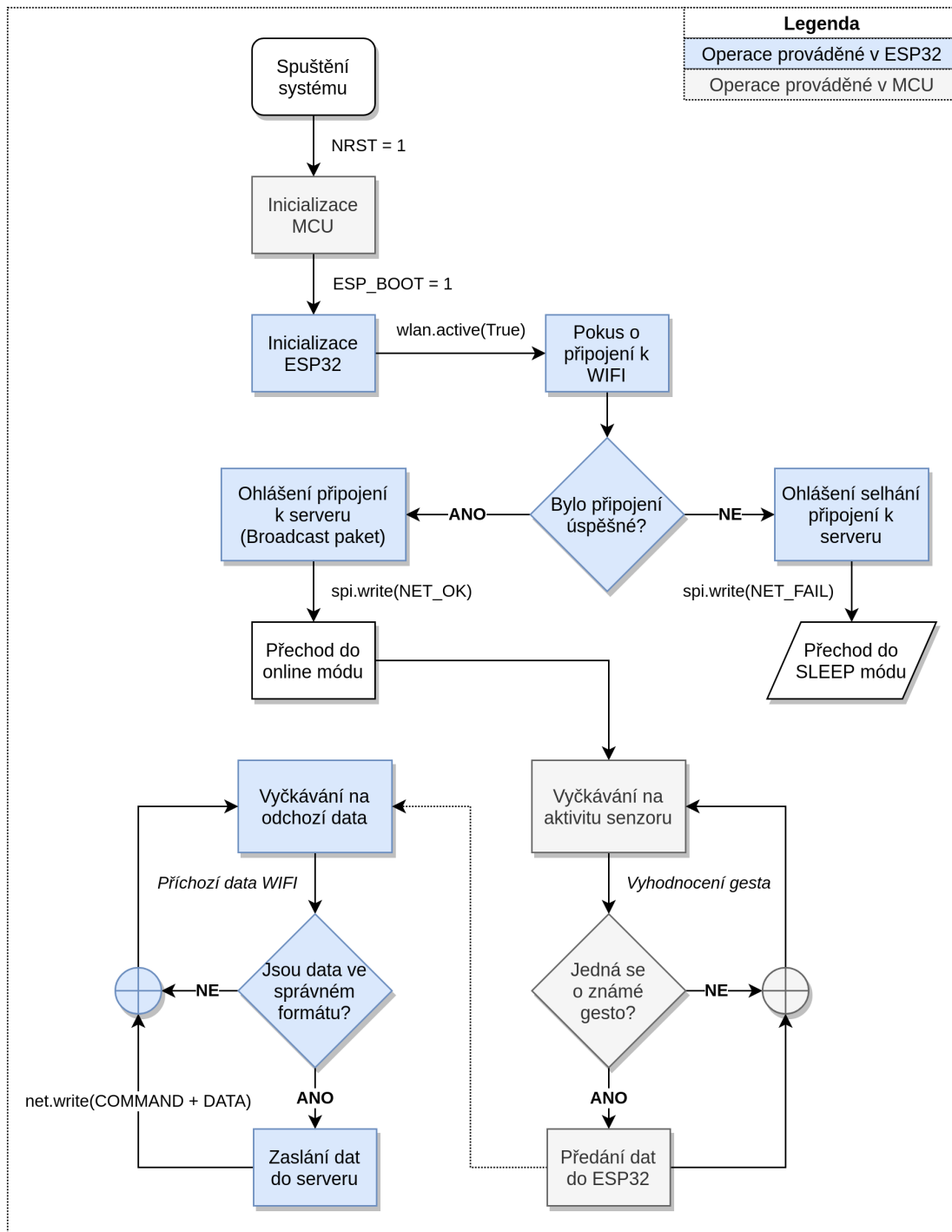
Zařízení *Sense* má shodně jako zařízení *Control* celkem dva procesory, jedním z nich je mikrokontrolér STM32L476 a druhý je koprocesor rádiového modulu ESP32-WROOM. Způsob předávání dat mezi nimi je shodný a též funkce modulu ESP32 je totožná. Jiný zdrojový kód je použit pro mikrokontrolér, který nyní neřídí výstupy, ale přijímá data ze senzoru. Blokovaný diagram popisující funkci celého softwaru je na obrázku 5.5 na straně 27.

Mikrokontrolér v tomto zařízení vyhodnocuje data přijatá ze senzoru a na základě nich vyhodnocuje gesta. V případě úspěšné detekce, předá data do modulu ESP32 a ten je odešle v patřičném rámci na *Server*. Princip algoritmu rozpoznávání gest vysvětlím v následující části.

### 5.5.1 Rozpoznávání gest

Základní princip fungování senzoru APDS9960 je založen na čtyřech zónách, jak jsem již zmínil v analýze dostupných komponent. V těchto čtyřech zónách kontinuálně měří míru odraženého infračerveného záření a v momentě, kdy je přesažena mezní hodnota a je tedy vysoce pravděpodobné že se před senzorem pohybuje objekt/dlaň, začne tento průběh ukládat. Jakmile je detekce dokončena, tedy v momentě, kdy míra přijatého infračerveného záření klesne pod mezní hodnotu nebo dojde k naplnění bufferu, signalizuje senzor pomocí přerušení dokončenou detekci. V tomto momentě je možné se senzoru vyčíst čtyři časové průběhy.

Získané časové průběhy je poté možné analyzovat a vyhodnotit z nich, zdali se jedná o časové průběhy odpovídající definovaným gestům. V tomto případě jsem se rozhodl použít jednoduchá gesta definovaná jako pohyb dlaně zdola-nahoru, shora-dolů, zleva-doprava a zprava-doleva a rozeznání těchto gest je relativně jednoduché. Časové průběhy ze všech zón jsou v tomto případě podobné pouze se liší v časovém posunu. Programově je tedy potřeba najít v časových průbězích náběžné hrany a z jejich posunu je možné určit směr pohybu. Například gesto pohybu zprava-doleva bude mít nejprve náběžnou hranu v pravé zóně senzoru, poté v horní a dolní zóně senzoru a jako poslední v levé zóně senzoru.

Obrázek 5.5: Blokový diagram *Sense*



## Kapitola 6

### Testování parametrů systému

#### 6.1 Odezva systému

Po zprovoznění a zapojení celého systému jsem jako první ověřil odezvu celého systému. Tento parametr je velmi důležitý z praktického důvodu, není přijatelné aby případný uživatel čekal po provedení gesta příliš dlouhou dobu na aktivaci výstupního prvku.

Vzhledem k tomu, že k nastavení výstupů po přijetí příkazů dojde v podstatě okamžitě a samotná detekce gesta je též velmi rychlou operací v řádu milisekund, tak jsem přijal předpoklad, že pro rámcovou představu stačí změřit pouze odezvu na úrovni sítě příkazem ping. Pro rozšíření jsem též změřil odezvu v rámci definovaného komunikačního protokolu, tedy odesláním příkazu a změřením doby do obdržení ACK paketu.

Měření příkazem ping i vyčkáváním na paket ACK jsem provedl celkem 100x pomocí automatického skriptu a následně jsem vyhodnotil minimální, maximální a průměrnou odezvu. Celé měření probíhalo v podmínkách nevytížené sítě, tedy v síti byla celou dobu připojena mimo routeru pouze měřená zařízení a PC, kterým jsem přes SSH přistupoval k serveru. Během testu neprobíhalo žádné význačné stahování nebo nahrávání dat.

	min	max	průměr
PING z <i>Sense</i> na <i>Server</i>	10ms	27ms	13ms
PING z <i>Server</i> na <i>Control</i>	27ms	132ms	78ms
ACK z <i>Sense</i> na <i>Server</i>	<1ms	<1ms	<1ms
ACK z <i>Server</i> na <i>Control</i>	58ms	144ms	124ms

**Tabulka 6.1:** Měření odezvy příkazem ping a vyčkáváním na ACK

Měření pomocí příkazů ping i měření pomocí ACK mělo poměrně velký rozptyl výsledků. Celkem z měření vyplývají následující poznatky:

- Změřené hodnoty pomocí ping a ACK se výrazně liší jak bylo možné očekávat.
- Odezva serveru je signifikantně rychlejší než odezva koncového zařízení. Tyto rozdíly si vysvětlují rozdílným výpočetním výkonem, potenciálně rozdílnou systémovou implementací odezvy na ping a v neposlední řadě též možným využitím úsporných režimů v zařízení *Control*.





## Kapitola 7

### Finanční stránka realizace

Posledním důležitým cílem této práce je zhodnocení finanční stránky realizace celého systému. Pro tento účel jsem si zvolil modelový příklad domácnosti v bytě 2+1 s oddělenou koupelnou a toaletou. V tomto modelovém bytě jsem zvážil možná rozmístění ovládacích prvků a osvětlovacích prvků a došel jsem k následující sestavě:

- *Sense* - 8 krát (v každé místnosti jednou, obývací a ložnice po dvou)
- *Control* - 8 krát (v každé místnosti jednou, obývací a ložnice po dvou)
- *Server* na Raspberry Pi 4 - 1 krát

Na základě obvyklých cen jsem určil orientační náklady na dílčích částí výroby, které uvádím v následující tabulce:

	DPS	Součátky	Osazení	Krabice	Jiné	Celkem
<i>Sense</i>	140,-	250,-	200,-	40,-	0,-	630,-
<i>Control</i>	140,-	200,-	100,-	25,-	0,-	465,-
<i>Server</i>	0,-	0,-	0,-	0,-	1200,-	1200,-

**Tabulka 7.1:** Cenová kalkulace

Po sečtení všech dílčích položek vycházejí rámcové náklady na vybavení jedné domácnosti tímto systémem na téměř 10000,-. Rámcová cena po zahrnutí nákladů na vývoj, pozáručního servisu a marže by se reálně mohla pohybovat okolo 15000,- až 20000,- v závislosti na celkovém rozsahu výroby. Je otázkou, zdali je takováto částka úměrná potenciálnímu přínosu tohoto systému, na druhou stranu by ale stále bylo možné cenu podstatně snížit optimalizací použitých komponent.



# Kapitola 8

## Závěr

### 8.1 Zhodnocení výsledků

Na základě analýzy současného stavu využití integrovaných senzorů pro rozpoznávání gest, jejich provozních parametrů a funkcí, dále pak analýzy současného stavu využití bezdrátových komunikačních rozhraní, jejich provozních parametrů a funkcí, a analýzy současného stavu využití mikrokontrolerů a embedded Linux platformem, jsem zvolil vhodné prvky k použití v navrhovaném systému.

Následně jsem navrhl a realizoval model tohoto systému spojením tří hlavních komponent – ovládacího rozhraní s funkcí rozpoznávání gest, řídicí centrály pro zpracování dat a aktivního členu, který ovládal LED osvětlení. Poté jsem provedl základní testy funkčních vzorků, změřil jsem jejich některé důležité parametry a zhodnotil jejich funkčnost. Na závěr jsem stručně zhodnotil náklady realizace a koncovou cenu v případě realizace tohoto systému pro potenciální obchodní uplatnění.

Celkově považuji tuto realizaci za úspěšnou a předpokládám, že i nadále budu pokračovat s jejím vývojem. Směr tohoto vývoje stručně naznačím v následující doplňující podkapitole.

### 8.2 Potenciální vylepšení

Pro budoucí vývoj se nabízí několik potenciálních úprav, které jsem buď objevil v závěru tohoto projektu nebo jsem již o nich věděl od počáteční analýzy, ale bylo mimo moje kapacity je plně implementovat. Mezi ně patří:

- Lepší algoritmus rozpoznávání gest - zde se nabízí možnost rozpoznání komplexnějších gest a větší konfigurovatelnost. Pro tyto účely zvažuji otestovat dostupné knihovny pro tvorbu neuronových sítí jako například TensorFlow.
- LoRa - použití rozhraní LoRa místo Wi-Fi by mohlo přinést několik výhod, mimo jiné nižší spotřebu možnost většího dosahu komunikace.
- Návrh krabic na míru - krabice na míru by byla velkým přínosem zejména u zařízení pro rozpoznávání gest, kde bylo třeba sériově vyráběnou krabicí výrazně modifikovat kvůli odrazům v zorném poli senzoru.

- Optimalizace součástí - z analýzy nákladů vyplývá, že by bylo možné zařízení po konstrukční stránce zjednodušit a tím i snížit cenu za použité součástky.

Ověření těchto možností a provedení jejich realizace chystám v dohledné době.



## Literatura

- [1] HOROWITZ, Paul and HILL, Winfield. *The Art of Electronics*. 3rd edition. Massachusetts: Harvard University, 2015. ISBN 978-0-521-80926-9
- [2] VOBECKÝ, Jan a ZÁHLAVA, Vít. *Elektronika - Součástky a obvody, principy a příklady*. třetí, rozšířené vydání. Praha: Grada Publishing, 2005. ISBN 978-80-247-1241-3
- [3] ZÁHLAVA, Vít. *Návrh a konstrukce desek plošných spojů*. Praha: BEN - technická literatura, 2011. ISBN 978-80-7300-266-4
- [4] VILÍM, Petr. *Senzorový systém pro řízení a regulaci*. Praha, 2018. Baka-lářská práce. ČVUT v Praze, Fakulta elektrotechnická, Katedra mikro-elektroniky.
- [5] Rust [online]. Rust Team, 2019. [vid. 15.11.2019]. Dostupné z: <https://www.rust-lang.org/>
- [6] Rust Platform Support [online]. [vid. 15.11.2019]. Dostupné z: <https://forge.rust-lang.org/release/platform-support.html>
- [7] Global Opportunity Analysis and Industry Forecast, 2014-2022 [online]. [vid. 16.11.2019]. Dostupné z: <https://www.alliedmarketresearch.com/microcontrollers-market>
- [8] Microcontroller Market Size, Share and Trends Analysis Report [online]. Grand View Research, 2019. [vid. 16.11.2019]. <https://www.grandviewresearch.com/industry-analysis/microcontroller-market>
- [9] Microchip Technology [online]. *ATmega328P*. 2015. [vid. 21.11.2019]. Dostupné z: [http://ww1.microchip.com/downloads/en/DeviceDoc/Atmel-7810-Automotive-Microcontrollers-ATmega328P\\_Datasheet.pdf](http://ww1.microchip.com/downloads/en/DeviceDoc/Atmel-7810-Automotive-Microcontrollers-ATmega328P_Datasheet.pdf)
- [10] Microchip Technology [online]. *ATtiny25/45/85*. 2013. [vid. 21.11.2019]. Dostupné z: [http://ww1.microchip.com/downloads/en/DeviceDoc/Atmel-2586-AVR-8-bit-Microcontroller-ATtiny25\\_45\\_85\\_Datasheet.pdf](http://ww1.microchip.com/downloads/en/DeviceDoc/Atmel-2586-AVR-8-bit-Microcontroller-ATtiny25_45_85_Datasheet.pdf)

- [11] Microchip Technology [online]. *ATtiny417/817*. 2019. [vid 27.12.2019]. Dostupné z: <http://ww1.microchip.com/downloads/en/DeviceDoc/ATtiny417-817-DataSheet-DS40001901D.pdf>
- [12] Microchip Technology [online]. *PIC18F2420*. 2008. [vid. 27.12.2019]. Dostupné z: <http://ww1.microchip.com/downloads/en/DeviceDoc/39631E.pdf>
- [13] STM8 [online]. STMicroelectronics, 2019. [vid. 29.12.2019]. Dostupné z: <https://www.st.com/en/microcontrollers-microprocessors/stm8-8-bit-mcus.html>
- [14] MicroPython [online]. George Robotics Limited, 2019. [vid. 8.11.2019]. Dostupné z: <https://micropython.org/>
- [15] MSP430 ultra-low-power sensing and measurement MCUs [online]. Texas Instruments, 2019. [vid 29.11.2019]. Dostupné z: <https://www.ti.com/microcontrollers/msp430-ultra-low-power-mcus/overview.html>
- [16] STMicroelectronics [online]. *STM32L476xx. Product Specifications*. 2018. [vid. 10.2.2018]. Dostupné z: <http://www.st.com/resource/en/datasheet/stm32l476je.pdf>
- [17] STMicroelectronics [online]. *STM32L031xx. Product Specifications*. 2019. [vid. 29.12.2019]. Dostupné z: <https://www.st.com/resource/en/datasheet/stm32l031f6.pdf>
- [18] STMicroelectronics [online]. *STM32G031xx. Product Specifications*. 2019. [vid. 29.12.2019]. Dostupné z: <https://www.st.com/resource/en/datasheet/stm32g031j6.pdf>
- [19] RF Solutions [online]. *Miniature Smart RF Transceivers. Datasheet*. 2018. [vid. 23.7.2019]. Dostupné z: <https://www.rfsolutions.co.uk/downloads/1556008678DS-ZETAPLUS-6.pdf>
- [20] RF Solutions [online]. *RF LoRa. LongRange Transceiver*. 2018. [vid. 23.7.2019]. Dostupné z: <https://datasheet.octopart.com/RF-LORA-868-S0-RF-Solutions-datasheet-62341029.pdf>
- [21] Bluetooth Mesh Models - A Technical Overview [online]. [vid. 30.12.2019] Dostupné z: <https://www.bluetooth.com/bluetooth-resources/bluetooth-mesh-models/>
- [22] Why ZigBee? [online]. Zigbee Alliance, 2019. [vid. 30.12.2019]. Dostupné z: <https://zigbeealliance.org/why-zigbee/>
- [23] Nordic Semiconductor [online]. *nRF52832 product brief*. 2019. [vid. 15.10.2019]. Dostupné z: <https://www.nordicsemi.com/Products/Low-power-short-range-wireless/nRF52832>

- [24] STMicroelectronics [online]. *Dual-core, multi-protocol wireless STM32WB microcontrollers*. 2019. [vid. 15.10.2019]. Dostupné z: <https://www.st.com/en/microcontrollers-microprocessors/stm32wb-series.html>
- [25] STMicroelectronics [online]. *Sub-GHz (868 or 915 MHz) low power programmable RF transceiver modules*. 2019. [vid. 15.10.2019]. Dostupné z: [https://www.st.com/content/st\\_com/en/products/wireless-transceivers-mcus-and-modules/sub-1ghz-rf/spsgrf.html](https://www.st.com/content/st_com/en/products/wireless-transceivers-mcus-and-modules/sub-1ghz-rf/spsgrf.html)
- [26] STMicroelectronics [online]. *Very low power application module for Bluetooth Smart v4.2. Product specifications*. 2019. [vid. 15.10.2019]. Dostupné z: [https://www.st.com/content/st\\_com/en/products/wireless-transceivers-mcus-and-modules/bluetooth-bluetooth-low-energy/spbtle-1s.html](https://www.st.com/content/st_com/en/products/wireless-transceivers-mcus-and-modules/bluetooth-bluetooth-low-energy/spbtle-1s.html)
- [27] Espressif Systems [online]. *ESP32-WROOM-32. Datasheet*. 2019. [vid. 16.12.2019]. Dostupné z: [https://www.espressif.com/sites/default/files/documentation/esp32-wroom-32\\_datasheet\\_en.pdf](https://www.espressif.com/sites/default/files/documentation/esp32-wroom-32_datasheet_en.pdf)
- [28] Farnell.com [online]. [vid. 30.12.2019]. Dostupné z: <https://www.farnell.com>
- [29] Testing the WiFi range of ESP32 [online]. [vid. 31.12.2019]. Dostupné z: <https://blog.honzamrazek.cz/2017/08/testing-the-wifi-range-of-esp32/>
- [30] Extremetech.com [online]. [vid. 31.12.2019]. Dostupné z: <https://www.extremetech.com/wp-content/uploads/2016/07/Raspberry-Pi-3-Model-B.jpg>
- [31] Beagle Bone AI [online]. [vid. 31.12.2019]. Dostupné z: <https://beagleboard.org/ai>
- [32] APDS-9960 [online]. [vid. 1.9.2019]. Broadcom Limited. <https://www.broadcom.com/products/optical-sensors/integrated-ambient-light-and-proximity-sensors/apds-9960>
- [33] Sparkfun APDS-9960 Arduino Library [online]. [vid. 1.9.2019]. Github. [https://github.com/sparkfun/SparkFun\\_APDS-9960\\_Sensor\\_Arduino\\_Library/tree/V\\_1.4.2](https://github.com/sparkfun/SparkFun_APDS-9960_Sensor_Arduino_Library/tree/V_1.4.2)
- [34] KiCad Developers Team. *KiCad EDA, ver. 5.1.6* [online]. Květen 2020. [přístup 25.5.2020]. Dostupné z: <http://kicad-pcb.org/> [Požadavky na systém: procesor Pentium IV, Athlon nebo novější, grafická karta s OpenGL 2.1 nebo novější, operační systém Windows 7, 8, 10 nebo GNU/Linux, 5 GB volného místa na disku, 1024 MB operační paměť]

- [35] TME.eu [online]. [vid. 15.4.2020]. <https://www.tme.eu/cz/details/10007.5/univerzalni-krabicky/teko/>
- [36] TME.eu [online]. [vid. 15.4.2020]. <https://www.tme.eu/cz/details/mini-25-1/montazni-krabice/spelsberg/31090801/>





## Seznam zkratek a symbolů

DPS	Deska Tištěných Spojů
ESD	Electrostatic Discharge (Elektrostatický výboj)
HAL	Hardware Abstraction Layer
I2C	Inter-Integrated Circuit (sériová komunikační sběrnice)
IoT	Internet of Things (Internet věcí)
LDO	Low Drop Out regulator (lineární stabilizátor s nízkým poklesem napětí)
LED	Light Emitting Diode (světlo vyzařující dioda)
MCU	Micro Controller Unit (Mikrokontrolér)
MOSFET	Metal Oxide Semiconductor Field Effect Transistor
NB-IoT	Narrow Band IoT (Úzkopásmové IoT)
PCB	Printed Circuit Board (deska tištěných spojů)
PWM	Pulse Width Modulation (pulzně šířková modulace)
QFN	Quad Flat No-leads (typ pouzdra součástek)
REPL	Read, Eval, Print, Loop (Interaktivní konzole jazyka Python)
SMPS	Switched Mode Power Supply (spínaný zdroj)
SPI	Serial Peripheral Interface (sériové komunikační rozhraní)
SSH	Secure Shell (protokol pro vzdálený přístup)
TCP	Transmission Control Protocol
UDP	User Datagram Protocol
WB-IoT	Wide Band IoT (Širokopásmové IoT)

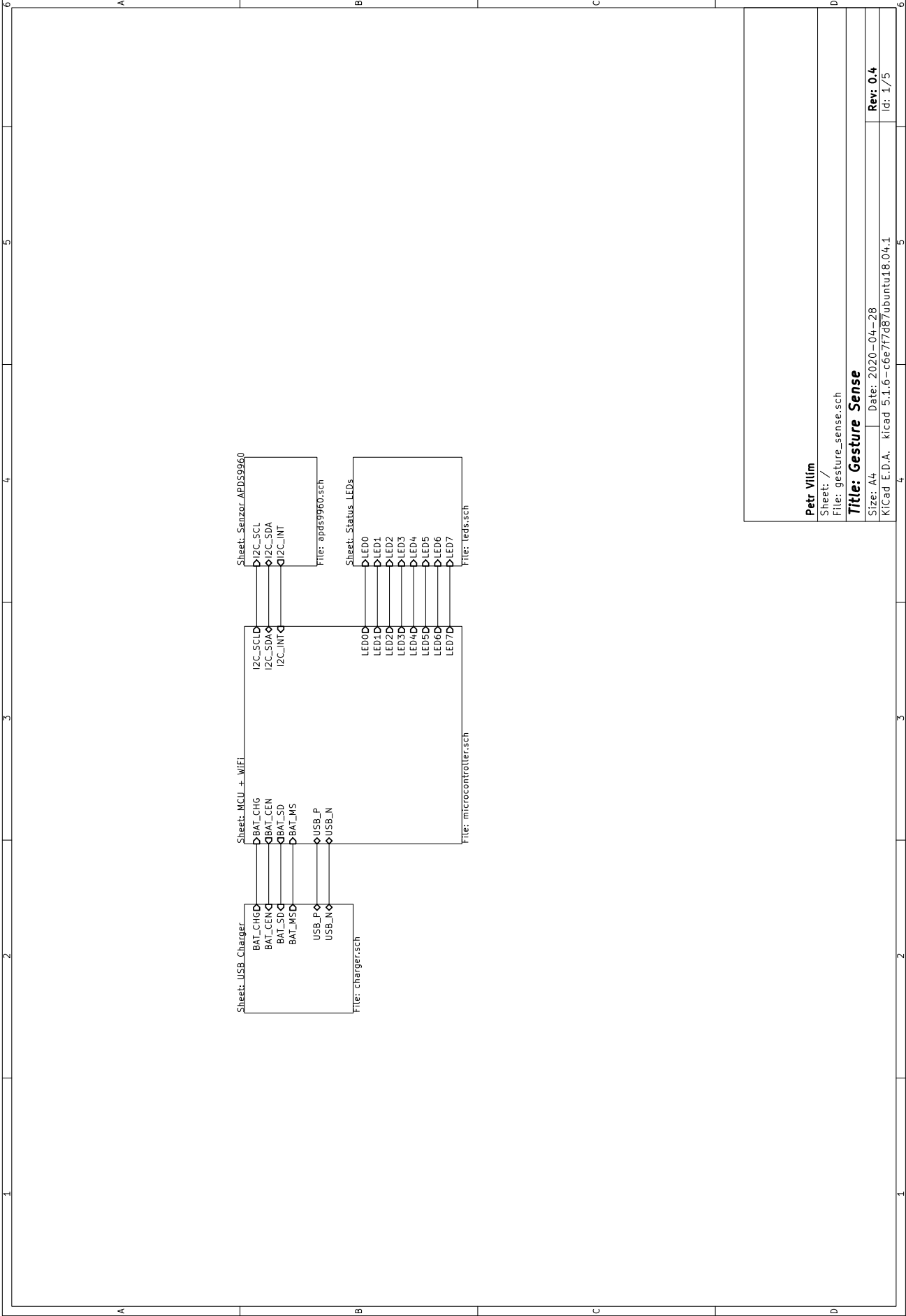




## Přílohy



Příloha A1 - funkční schéma Sense



Petr Vilim

Sheet: /

File: gesture\_sense.sch

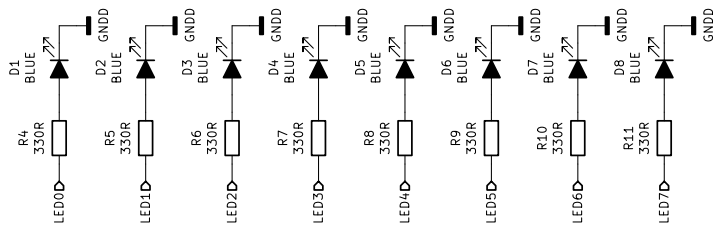
Title: Gesture Sense

Size: A4 Date: 2020-04-28

KiCad E.D.A. kicad 5.1.6-c6e77d87ubuntu18.04.1

Rev: 0.4

Id: 1/5



Petr Vilím

Sheet: /Status LEDs/

File: leds.sch

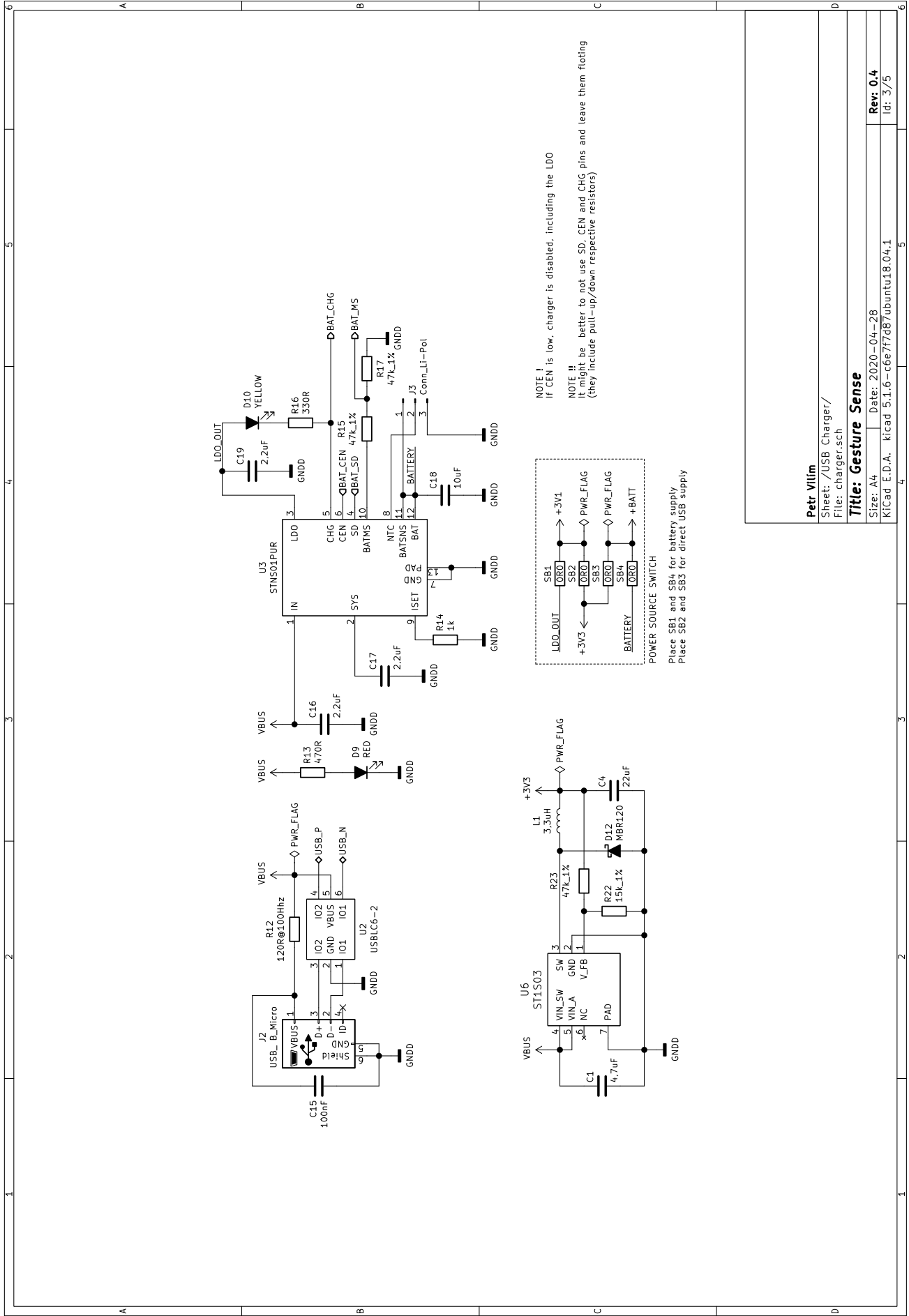
Title: Gesture Sense

Size: A4 Date: 2020-04-28

KiCad E.D.A. - kicad 5.1.6 - c6e7f7d87ubuntu18.04.1

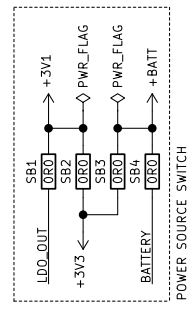
Rev: 0.4

Id: 2/5



NOTE !  
 If CEN is low, charger is disabled, including the LDO

NOTE !!  
 It might be better to not use SD, CEN and CHG pins and leave them floating  
 (they include pull-up/down resistive resistors)

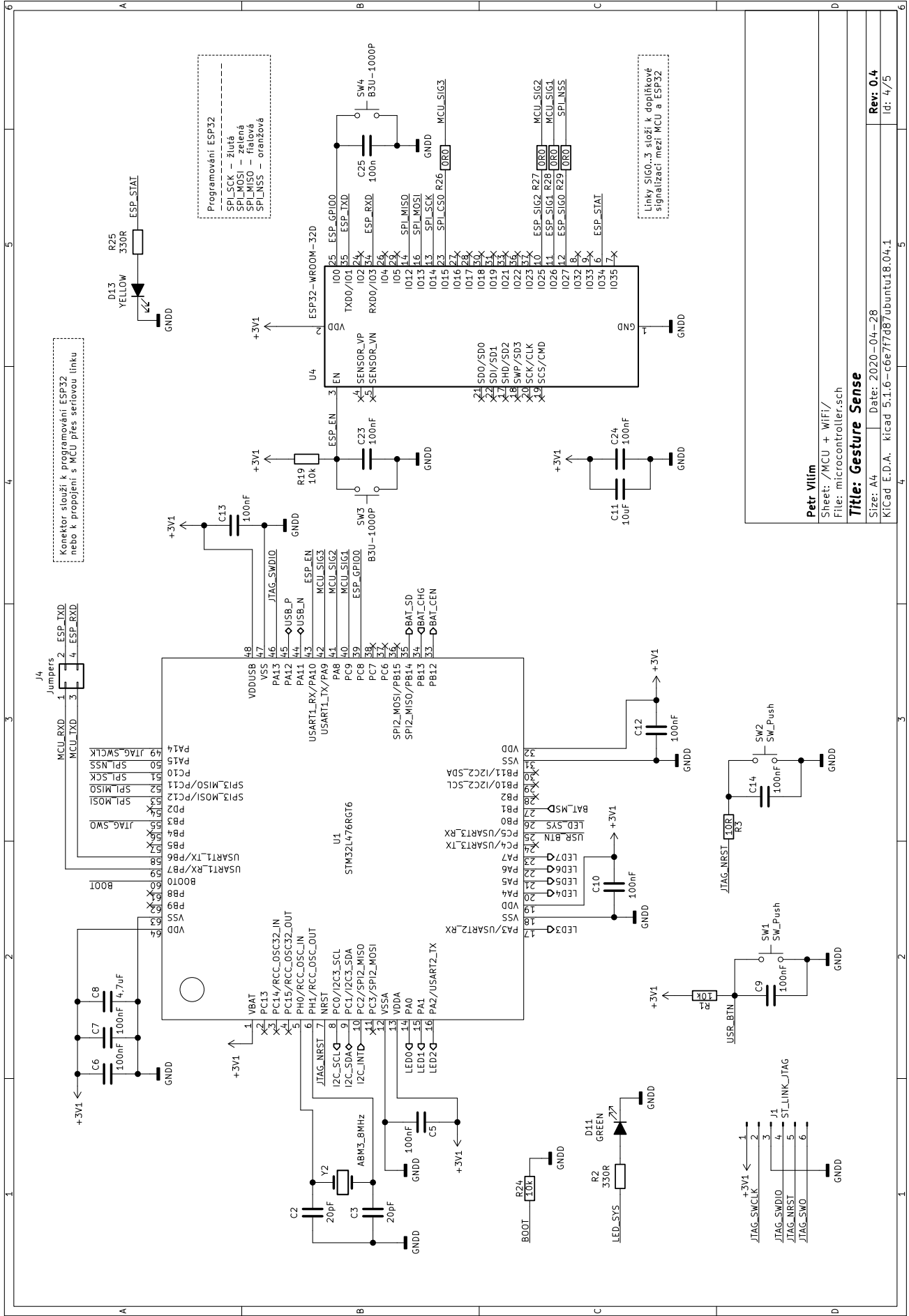


Place SB1 and SB4 for battery supply  
 Place SB2 and SB3 for direct USB supply

**Petr Vilim**  
 Sheet: /USB Charger/  
 File: charger.sch

**Title: Gesture Sense**  
 Size: A4 Date: 2020-04-28  
 KiCad E.D.A. kicad.5.1.6-c6e7f7d87ubuntu18.04.1

Rev: 0.4  
 Id: 3/5



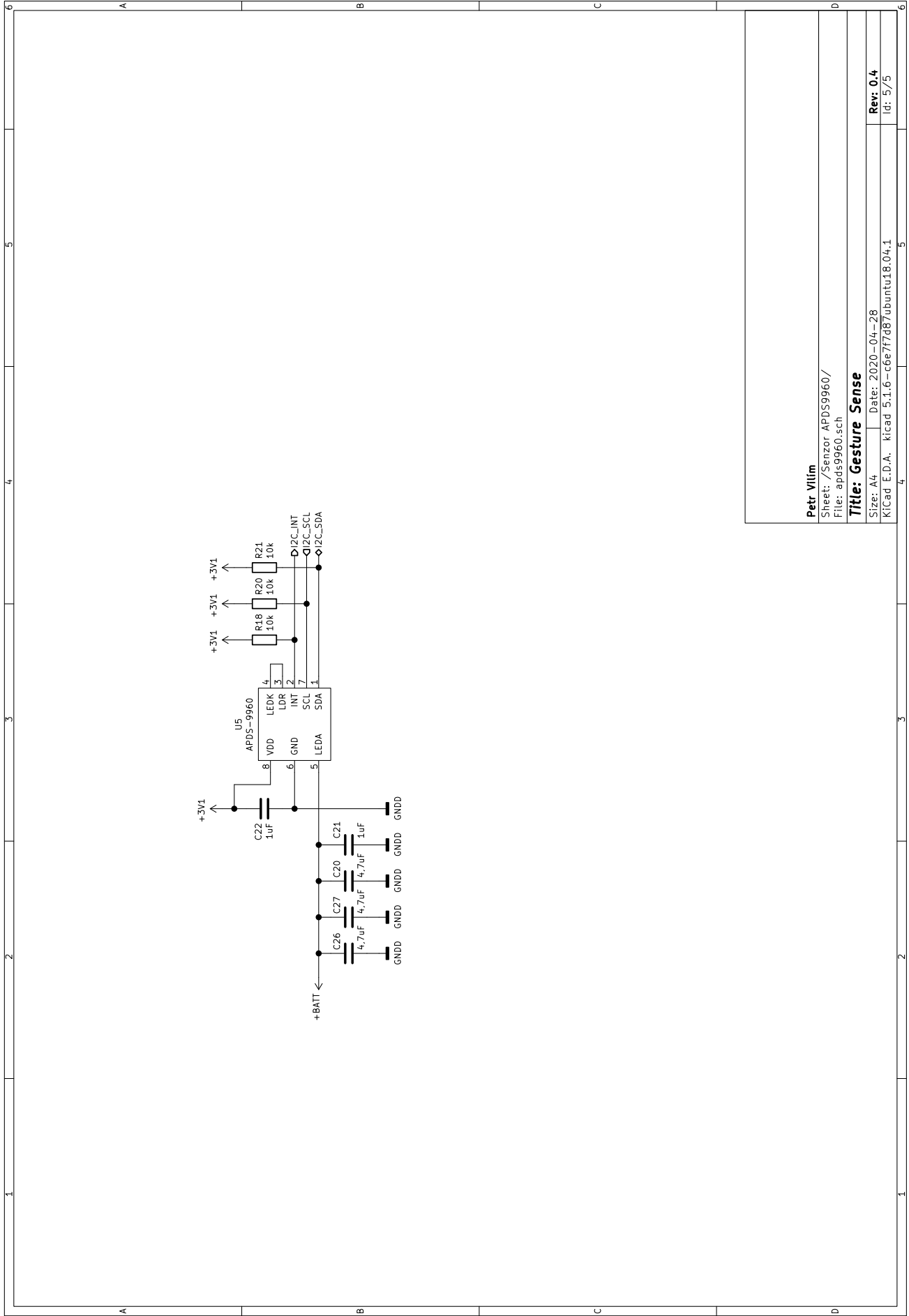
Konektor slouží k programování ESP32 nebo k propojení s MCU přes seriovou linku

Programování ESP32  
 SPL\_SCK – žlutá  
 SPL\_MISO – zelená  
 SPL\_MOSI – fialová  
 SPL\_NSS – oranžová

Linky SIG0..3 slouží k doplnkové signalizaci mezi MCU a ESP32

**Petr Vilím**  
 Sheet: /MCU + WiFi/  
 File: microcontroller.sch  
**Title: Gesture Sense**  
 Size: A4 Date: 2020-04-28  
 KiCad E.D.A. kicad 5.1.6-c6e7f7d87ubuntu18.04.1

Rev: 0.4  
 Id: 4/5

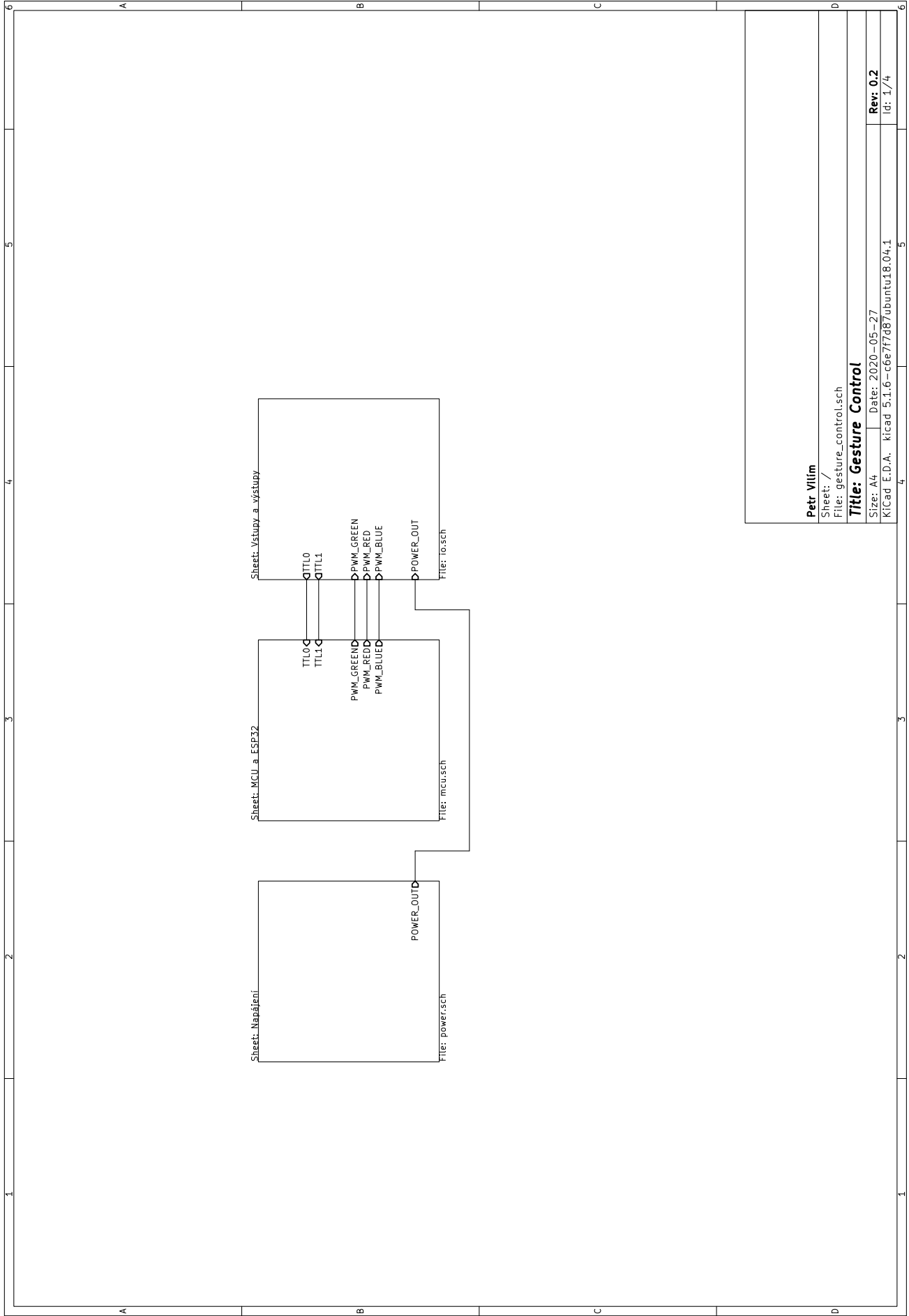


**Petr Vilim**  
 Sheet: /Senzor APDS9960/  
 File: apds9960.sch  
**Title: Gesture Sense**  
 Size: A4 Date: 2020-04-28  
 KiCad E.D.A. kicad 5.1.6-c6e7f7d87ubuntu18.04.1

Rev: 0.4  
 Id: 5/5



## ■ Příloha A2 - funkční schéma Control



**Petr Vilím**

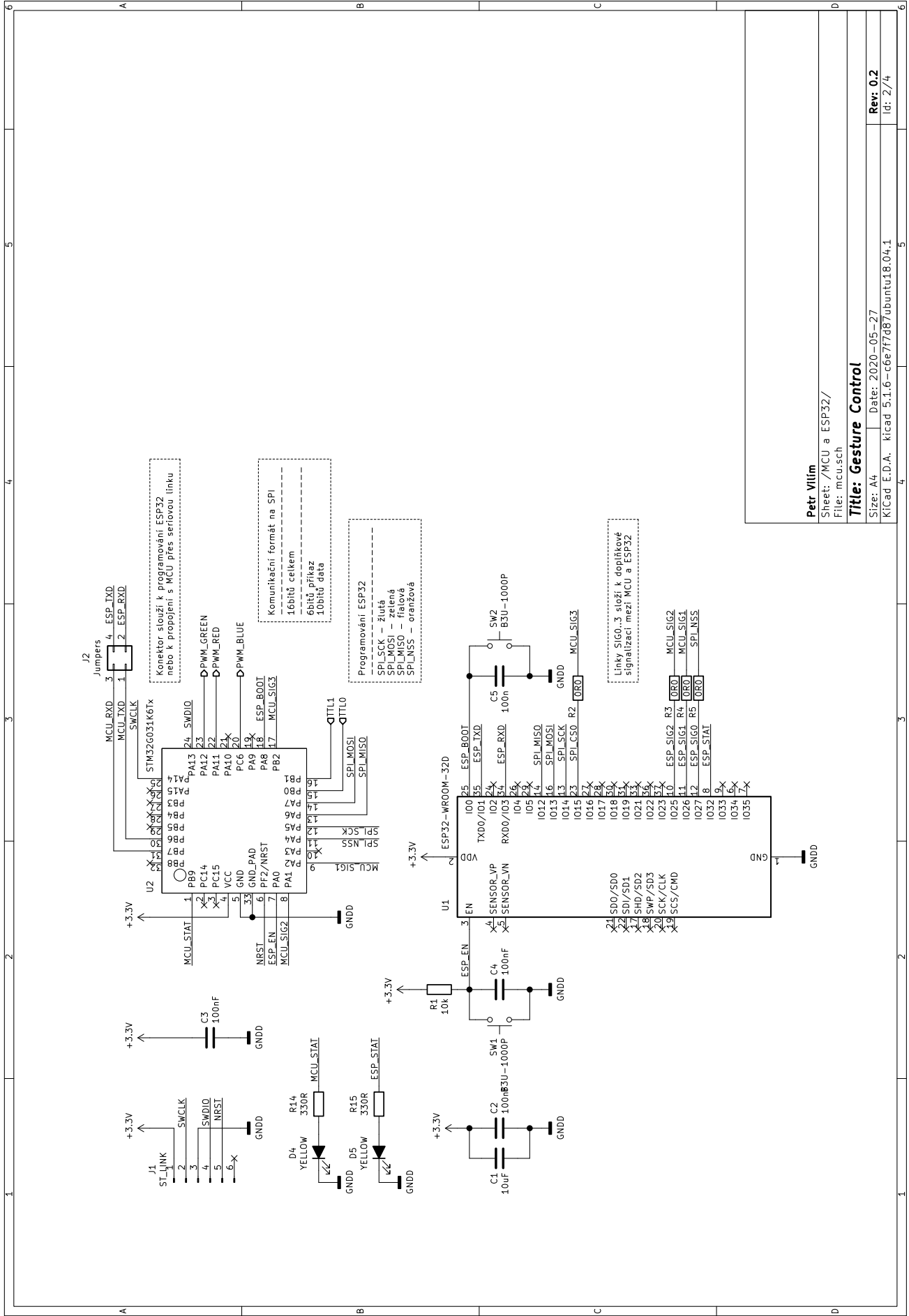
Sheet: /  
File: gesture\_control.sch

**Title: Gesture Control**

Size: A4 Date: 2020-05-27

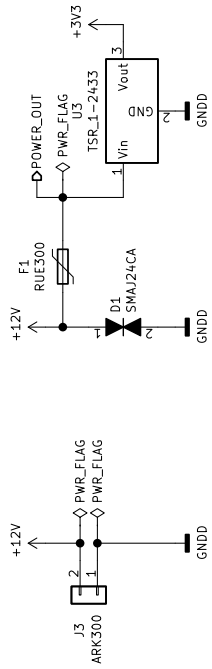
KiCad E.D.A. kicad 5.1.6-c6e77d87ubuntu18.04.1

**Rev: 0.2**  
Id: 1/4



**Petr Vilím**  
 Sheet: /MCU a ESP32/  
 File: mcu.sch  
**Title: Gesture Control**  
 Size: A4 Date: 2020-05-27  
 KiCad E.D.A. kicad 5.1.6 - c6e7f7d87ubuntu18.04.1

Rev: 0.2  
 Id: 2/4



Petr Vilim

Sheet: /Napajeni/

File: power.sch

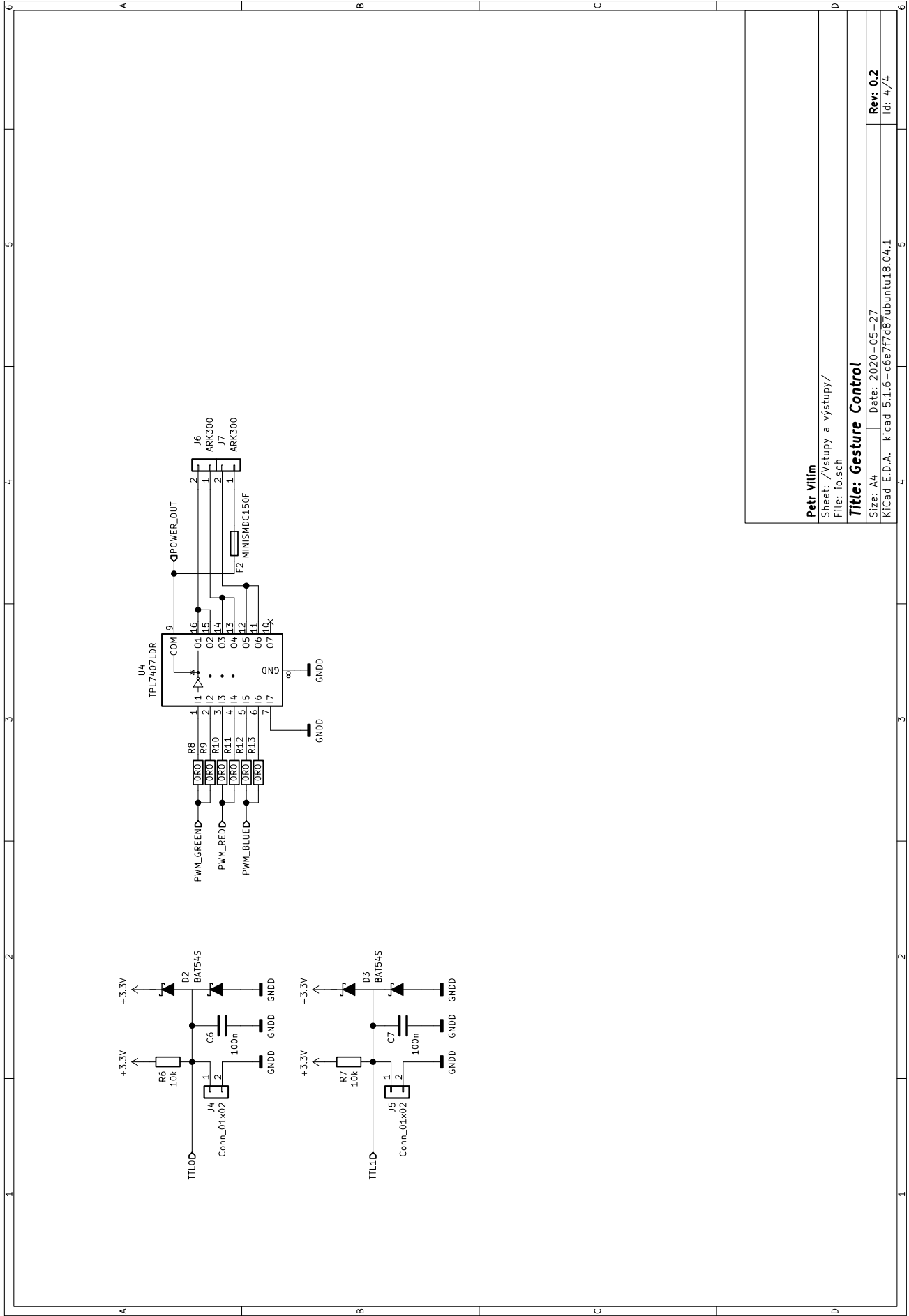
Title: Gesture Control

Size: A4 Date: 2020-05-27

KiCad E.D.A. kicad 5.1.6-c6e77d87ubuntu18.04.1

Rev: 0.2

Id: 3/4



Petr Vilím

Sheet: /Vstupy a výstupy/

File: io.sch

Title: Gesture Control

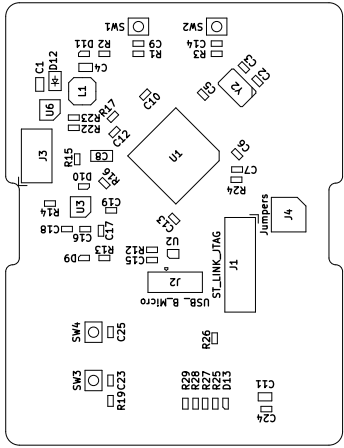
Size: A4 Date: 2020-05-27

KiCad E.D.A. kicad 5.1.6-c6e7f7d87ubuntu18.04.1

Rev: 0.2

Id: 4/4

## ■ Příloha B1 - rozložení DPS Sense



Petr Vilim

Sheet:

File: gesture\_sense.kicad\_pcb

Title: Gesture Sense

Size: A4 Date: 2020-04-20

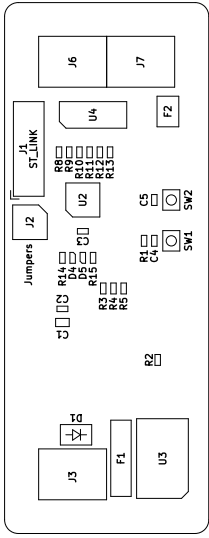
Rev: 0.4

Id: 1/1

KiCad E.D.A. kicad 5.1.6

## ■ Příloha B1 - rozložení DPS Control





Petr Vilim

Sheet:

File: gesture\_control.kicad\_pcb

Title: Gesture Control

Size: A4 Date: 2020-04-12

Rev: 0.1

Id: 1/1

KiCad E.D.A. kicad 5.1.6

## ■ Příloha C - zdrojové kódy

Vzhledem k rozsahu zdrojového kódu jej zde neuvádím. Všechny zdrojové kódy jsou uloženy na příloženém CD. Pro přehled zde uvádím popis jednotlivých zdrojových kódů:

- `gesture_sense.py` - zdrojový kód zařízení *Sense*
- `gesture_control.py` - zdrojový kód zařízení *Control*
- `gesture_server.py` - zdrojový kód pro *Server*
- `config.txt` - konfigurační soubor sdílený mezi zařízeními obsahující základní údaje pro připojení k síti a vzájemné komunikaci
- `link_command.pickle` - soubor obsahující vazby mezi vstupy a výstupy systému, používá jej ke své funkci *Server*
- `link_command_generator.py` - skript generující soubor `link_command.pickle`